

## بررسی اثر پرایمینگ بذر با کمپلکس سه هسته‌ای آهن و نانوذرات $Fe_3O_4$ حاصل از تجزیه حرارتی آن بر برخی شاخص‌های رشد و فیزیولوژیکی گیاه گندم

طاهره جهان تیغ<sup>۱</sup>، صدیقه اسمعیل‌زاده بهابادی<sup>۱\*</sup>، زهره رزم‌آرا<sup>۲</sup> و سیده پریسا حسنین<sup>۱</sup>

<sup>۱</sup> گروه زیست‌شناسی، دانشکده علوم پایه، دانشگاه زابل، ایران

<sup>۲</sup> گروه شیمی، دانشکده علوم پایه، دانشگاه زابل، ایران

(تاریخ دریافت: ۱۴۰۰/۱۱/۲۵، تاریخ پذیرش نهایی: ۱۴۰۱/۰۳/۳۱)

### چکیده

گندم یکی از مهمترین غلات پرمصرف است و با توجه به نقش نانوتکنولوژی در تولید محصولات زراعی، بررسی تأثیر نانوذرات بر فرآیندهای رشدی آن بسیار حائز اهمیت است. هدف پژوهش حاضر، تأثیر کمپلکس سه هسته‌ای آهن و نانو ذرات  $Fe_3O_4$  حاصل از آن بر برخی شاخص‌های رشد و فیزیولوژیکی گیاه گندم بود. در این تحقیق تیمارها شامل بدون پرایمینگ بذر (شاهد)، پرایمینگ با غلظت‌های مختلف (۱۰۰، ۲۰۰ و ۵۰۰ ppm) کمپلکس آهن و نانو ذرات آهن حاصل از آن بود. کمپلکس آهن توسط آنالیز عنصری، طیف‌سنجی مادون قرمز (FT-IR) و طیف‌سنجی پراش اشعه X تک بلور (SC-XRD) تأیید ساختار شد. همچنین ساختار نانو ذرات  $Fe_3O_4$  توسط طیف‌سنجی مادون قرمز (FT-IR)، پراش پرتو ایکس (XRD) و میکروسکوپ الکترونی عبوری (SEM) مورد مطالعه قرار گرفت. میزان ترکیبات فنول کل با روش فولین سیوکاتیو، میزان ترکیبات فلاونوئیدی با استفاده از روش رنگ‌سنجی آلومینیم کلرید و میزان فعالیت آنتی‌اکسیدان به روش FRAP اندازه‌گیری شد. نتایج نشان داد که نانو ذرات اکسید آهن تهیه شده دارای اندازه ذرات کوچکتر و مساحت سطح ویژه بزرگتری نسبت به نانو کمپلکس آهن است. نتایج نشان داد که همه غلظت‌های کمپلکس آهن و نانو ذرات آهن باعث افزایش معنی‌دار شاخص‌های رشد و فیزیولوژیکی نسبت به شاهد شدند. به طوری که بیشترین جوانه‌زنی بذر (۹۴٪) در غلظت ۵۰۰ ppm نانوذرات آهن مشاهده شد. بیشترین طول ریشه‌چه (۲۷ cm)، طول ساقه‌چه (۱۶/۳ cm)، وزن خشک ساقه‌چه (۱/۷ mg)، وزن خشک ریشه‌چه (۱/۲ mg)، وزن خشک ریشه (۰/۰۳ g)، وزن خشک ساقه (۰/۰۴ g)، طول ریشه (۲۹/۳۳ cm) و طول ساقه (۲۹ cm) در غلظت ۵۰۰ ppm نانوذرات آهن مشاهده شد. بیشترین محتوای فنول، محتوای فلاونوئید و فعالیت آنتی‌اکسیدانی نیز در غلظت ۵۰۰ ppm نانوذرات آهن به دست آمد. براساس نتایج این تحقیق، پرایمینگ بذر با نانوذرات آهن به عنوان محرکی مناسب جهت افزایش رشد و تولید ترکیبات فنولی در گیاه گندم پیشنهاد می‌شود.

کلمات کلیدی: کمپلکس آهن، نانو ذرات آهن، شاخص‌های فیزیولوژیکی، گیاه گندم

مقدمه

گندم (*Triticum aestivum* L.) سومین غلات پرمصرف در جهان است که به دلیل اهمیت آن به عنوان منبع اصلی فیبر رژیم

نانوذرات و هم‌چنین گونه گیاهی بستگی دارد (Siddiqui *et al.*, 2015).

در پژوهشی محلول‌پاشی با نانو کود آهن موجب افزایش عملکرد و میزان آهن در قسمت‌های مختلف سویا و سورگوم شده است (Johnson *et al.*, 2015). کاربرد نانو کودهای کلات آهن در اسفناج غلظت ترکیبات نامطلوب مانند نیترات و نیتريت سدیم را کاهش دادند (Peralta-Videa *et al.*, 2015). Kornarzynski و همکاران (۲۰۲۰) تأثیر نانو ذرات  $Fe_3O_4$  بر جوانه‌زنی بذرها و غلظت عناصر موجود در آفتابگردان را نشان دادند. در زمینه مطالعه نانو ذرات آهن بر گندم نیز می‌توان به تحقیق فتحی و زاهدی (۱۳۹۳) در دو رقم گندم اشاره نمود که نشان دادند، محلول‌پاشی نانو ذرات اکسید آهن و روی نسبت به فرم معمول آنها باعث افزایش بیشتر غلظت آهن و روی در گیاه شد. در تحقیق عبدالمهدی و همکاران (۱۳۹۷) نانو ذرات اکسید آهن کربوکسیل دار بیشترین تأثیر را بر غلظت و جذب روی در گندم داشتند. مظاهری‌نیا و همکاران (۱۳۹۰) در بررسی کارایی نانو اکسید آهن و اکسید معمولی آهن در جذب و غلظت عناصر غذایی در گندم گزارش کردند که نانو اکسید آهن نسبت به اکسید آهن معمولی برتری معنی‌داری داشت. در آزمایشی نانو ذرات اکسید آهن محلول‌پاشی شده باعث افزایش ویژگی‌های فیزیولوژیکی و بیوشیمیایی (فنول، فلاونوئید و آنتی‌اکسیدانی) گیاه گندم شد (Ghafari and Razmjoo, 2013). بررسی‌های Amiry Hosinkhani و همکاران (۲۰۱۳) نشان داد که بیشترین عملکرد بیولوژیک گندم، از محلول‌پاشی آهن در زمان طولیل‌شدن ساقه، حاصل شد. Armin و همکاران (۲۰۱۴) در بررسی تأثیر غلظت‌های مختلف نانو کلات آهن بر صفات گندم، گزارش دادند که کاربرد غلظت ۴ درصد آهن، بالاترین عملکرد دانه را تولید کرد. در آزمایش Harsini و همکاران (۲۰۱۴) محلول‌پاشی کود نانو کلات آهن باعث افزایش ارتفاع چهار رقم گندم شد. براساس نتایج Lannone و همکاران (۲۰۱۶) فعالیت‌های آنزیم آنتی‌اکسیدانی گیاهان تیمار شده با نانو ذرات آهن به‌طور معنی‌داری از نظر ریشه و قسمت هوایی نسبت به گروه شاهد افزایش یافت و پاسخی را برای

غذایی انسان، به‌عنوان یک محصول مدل کشاورزی استفاده می‌شود (Zhao *et al.*, 2014). امروزه، نانوفناوری به‌عنوان یکی از روش‌های نویدبخش برای افزایش قابل توجه تولید غذای مورد نیاز جمعیت در حال رشد جهان است (Lal, 2008). امروزه استفاده از نانو ذرات و نانو ساختارها به علمی نوین تبدیل شده و توانسته تمام عرصه‌های علمی بشر را دگرگون سازد به‌طوری‌که فناوری نانو به‌طور گسترده در علوم مختلف از جمله بیوتکنولوژی و علوم کشاورزی گسترش یافته است (Das *et al.*, 2004; Nair *et al.*, 2010). نانو مواد شامل ذرات بین ۱-۱۰۰ نانومتر هستند که که ویژگی و اثرات آنها علاوه بر ترکیب شیمیایی، تحت تأثیر اندازه آنها نیز است (Ma *et al.*, 2010).

یکی از مهم‌ترین کاربردهای فناوری نانو در کشاورزی، استفاده از نانو ذرات جهت تغذیه گیاهان و جذب مواد مغذی توسط گیاهان و افزایش سرعت فتوسنتز است (Salem and Elsheery, 2020; DeRosa *et al.*, 2010). با استفاده از نانو ذرات، عناصر غذایی به‌آرامی و با سرعتی مناسب در تمام فصل رشد گیاه آزاد می‌شوند و به‌دلیل کاهش آبیویی عناصر، گیاهان قادر به جذب بیشتر عناصر خواهند بود و آلودگی‌های زیست محیطی کاهش می‌یابد (Mastronardi *et al.*, 2015; Liu and Lal, 2015). ترشحات ریشه‌ای تراوش شده در پاسخ به جذب نانو ذرات فلزی توسط گیاه نیز از مکانیسم‌های احتمالی در سهولت دسترسی عناصر غذایی در خاک است (Peralta-Videa *et al.*, 2015). آهن یک عنصر کم‌مصرف مغذی و ضروری برای رشد گیاهان است که در متابولیسم گیاهان نقش مهمی را ایفا می‌کند (Hochmuth, 2011; Wang and Cai, 2010).

نانو ذرات آهن، از جمله نانوذراتی است که در کشاورزی مورد استفاده قرار می‌گیرد و پژوهش‌های زیادی در این زمینه انجام شده است. اثرات مثبت و منفی نانو ذرات بر رشد و متابولیسم گیاهان گزارش شده است که نوع پاسخ گیاه به ترکیب، غلظت، سایز و ویژگی‌های فیزیکی و شیمیایی

مونوکروماتور گرافیتی در طول موج  $1/54184 \text{ \AA}$  ثبت شد. تصاویر SEM جهت بررسی مورفولوژی کاتالیست‌های تهیه شده با استفاده از دستگاه VEGA\TESCAN-XMU گرفته شد. ساختار کمپلکس آهن با استفاده از نرم‌افزارم رکوری رسم شده است و از نتایج حاصل از پراش پرتو ایکس تک بلور استفاده شده است.

کمپلکس آهن  $[\text{Fe}(\text{dipic})_2]_2 \cdot 7\text{H}_2\text{O}$   $[\text{Fe}(\text{bpy})_3]$  توسط امواج التراسونیک سنتز گردید و دو بخش آنیونی و کاتیونی تشکیل شده است. برای سنتز کمپلکس کاتیونی با فرمول  $[\text{Fe}(\text{bpy})_3]^{2+}$  ابتدا ۳ میلی‌مول لیگاند 2,2-bipyridine معادل ۰/۴۶ گرم به ۲۰ میلی‌لیتر محلول اتانولی حاوی ۰/۱۹ گرم از نمک  $\text{FeCl}_2 \cdot 6\text{H}_2\text{O}$  تحت گاز نیتروژن اضافه شد و محلول حاصل به مدت ده دقیقه تحت امواج التراسونیک قرار گرفت. به‌طور همزمان در بشر دیگری بخش آنیونی با فرمول  $[\text{Fe}(\text{dipic})_2]$  تهیه شد. جهت تهیه بخش آنیونی مقدار ۰/۶۶ گرم از لیگاند پیریدین ۲،۶- دی کربوکسیلیک اسید در ۱۰ میلی‌لیتر آب دوبار تقطیر حل شد، به این محلول، مقدار ۰/۱۶ گرم سود حل شده در ۱۰ میلی‌لیتر آب دو بار تقطیر اضافه شد. به محلول حاصل مقدار ۰/۳۸ گرم نمک  $\text{FeCl}_2 \cdot 6\text{H}_2\text{O}$  اضافه شد و محلول حاصل در دمای اتاق به مدت ده دقیقه تحت امواج التراسونیک قرار گرفت. در ادامه کمپلکس کاتیونی به آرامی و تحت امواج التراسونیک به کمپلکس آنیونی اضافه شد. محلول حاصل صاف و در دمای اتاق تبخیر شد و پس از چند روز کریستال‌های کمپلکس  $[\text{Fe}(\text{dipic})_2]_2 \cdot 7\text{H}_2\text{O}$   $[\text{Fe}(\text{bpy})_3]$  با بازده ۶۸ درصد تشکیل شد.

**تهیه نانو ذرات اکسید آهن:** جهت تهیه نانو ذرات  $\text{Fe}_3\text{O}_4$ ، مقدار ۱۰ گرم از کمپلکس آهن  $[\text{Fe}(\text{bpy})_3]$   $[\text{Fe}(\text{dipic})_2]_2 \cdot 7\text{H}_2\text{O}$  به مدت ۶ ساعت در یک کوره الکتریکی مخصوص کلسیناسیون در دمای ۶۰۰ درجه سانتی‌گراد حرارت داده شد و سپس نانو ذرات اکسید حاصل گردید (Saheli et al., 2018).

**بررسی شاخص‌های جوانه‌زنی و رشد:** کمپلکس آهن و نانو ذرات حاصل از آن روی شاخص‌های رشد و جوانه‌زنی

جلوگیری از آسیب اکسیداتیو نشان داد. با توجه به گستردگی مناطق زیر کشت گندم، مواجه شدن بخشی از دوران رشد این گیاه با کمبود عناصر ریزمغذی آهن در بیشتر خاک‌ها، تعدیل بخشی از آثار این کمبودها با نانو ذرات آهن و بررسی‌های محدود انجام شده درباره تأثیر نانو ذرات آهن، در بررسی حاضر برای اولین بار تأثیر کمپلکس سه هسته‌ای آهن و نانو ذرات  $\text{Fe}_3\text{O}_4$  حاصل از تجزیه حرارتی آن بر برخی شاخص‌های رشد و فیزیولوژیک گیاه گندم ارزیابی شد. مطالعات نشان می‌دهد که نانو ذرات حاصل از تجزیه حرارتی کمپلکس‌های معدنی به دلیل دارا بودن سطح ویژه بالا و یکنواختی، کوچک بودن اندازه ذرات، مقادیر بسیار دقیق از فاز فعال و برهمکنش بین مراکز فلزی، فعال‌تر و پایدارتر از نانو ذرات کمپلکس آهن هستند (Saheli et al., 2018). بنابراین اهداف این مطالعه عبارتند از ۱- تهیه کمپلکس نانو ساختار  $[\text{Fe}(\text{bpy})_3]$   $[\text{Fe}(\text{dipic})_2]_2 \cdot 7\text{H}_2\text{O}$  توسط امواج التراسونیک و بررسی عملکرد آن بر شاخص‌های رشد و فیزیولوژیکی گیاه گندم ۲- تهیه نانوذرات  $\text{Fe}_3\text{O}_4$  حاصل از تجزیه حرارتی کمپلکس فوق و مقایسه عملکرد آنها کمپلکس آهن.

## مواد و روش‌ها

**تهیه کمپلکس آهن و نانو ذرات اکسید آهن:** تمامی مواد مورد استفاده در این پژوهش از شرکت‌های آلدریچ خریداری شده و بدون خالص‌سازی مورد استفاده قرار گرفته‌اند. برای شناسایی و مطالعه خواص فیزیکی و شیمیایی کمپلکس آهن و نانو ذرات اکسید آهن حاصل از دستگاه‌ها و روش‌های مختلفی استفاده شد. آنالیز عنصری CHN توسط دستگاه Perkin-Elmer 2400 انجام شد. طیف‌های زیر قرمز توسط دستگاه طیف‌سنجی Jasco FT/IR-430 به صورت قرص KBr در محدوده فرکانسی ۴۰۰ تا  $4000 \text{ cm}^{-1}$  گرفته شد. برای مطالعه ساختار بلوری کمپلکس آهن از داده‌های پراش پرتو ایکس تک بلور بدست آمده از پراش سنج four-circle KUMA KM4 استفاده شد. الگوی پراش پرتو ایکس نانو ذرات آهن توسط دستگاه Philips X-Pert MPD و با استفاده از تابش Cu-K $\alpha$  و

گلدان‌ها در اتاقک رشد (Germinator) با دمای ۲۸ درجه سانتی‌گراد، ۱۶ ساعت روشنایی و ۸ ساعت تاریکی قرار داده شدند. از مرحله دو برگی با آب مقطر تغذیه شدند. در نهایت اندام‌های هوایی جهت آنالیزهای فیزیولوژیکی و بیوشیمیایی برداشت شدند. اندازه‌گیری طول ریشه و ساقه پس از کشت گلدانی به وسیله خط‌کش صورت گرفت. برای به‌دست آوردن وزن خشک، نمونه‌ها را در پاکت کاغذی قرار داده و در دمای ۷۰ درجه سانتی‌گراد به مدت ۴۸ ساعت در آون خشک گردید و پس از آن نمونه‌ها به وسیله ترازوی با دقت ۰/۰۰۱ گرم وزن شدند.

**تهیه عصاره الکلی:** به ۲ گرم پودر خشک شده اندام‌های هوایی گیاه، ۲ سی‌سی متانول ۷۰ درصد اضافه کرده و سر بشرها را با پارافیلیم پوشانده و سپس بشرهای مورد نظر را روی دستگاه شیکر (تکان‌دهنده مغناطیسی) با دور ۱۵۰ به مدت ۲۴ ساعت در دمای اتاق قرار داده شد. بعد از طی زمان مورد نظر عصاره‌ها را ابتدا با استفاده از کاغذ واتمن صاف کرده و جهت هر چه بهتر شدن عصاره‌گیری، عصاره‌ها را به مدت ۱۵ دقیقه و با دور ۶۰۰۰ سانتریفیوژ نموده و سپس عصاره‌های بدست آمده به‌طور جداگانه درون ظروف تیره و استریل تا زمان انجام آزمایش در یخچال با دمای ۴ درجه سانتی‌گراد نگهداری شدند.

**میزان فلاونوئید:** میزان فلاونوئید تام به روش رنگ‌سنجی آلومینیوم کلرید با استفاده از کوئرستین (Quercetin) به‌عنوان استاندارد اندازه‌گیری شد (Chang et al., 2002). برای این کار به ۰/۵ میلی‌لیتر از هر عصاره، ۱/۵ میلی‌لیتر متانول (۸۰ درصد)، ۰/۱ میلی‌لیتر محلول آلومینیوم کلرید (۱۰ درصد متانولی)، ۰/۱ میلی‌لیتر استات پتاسیم (۱ مولار) و ۲/۸ میلی‌لیتر آب مقطر اضافه و خوب مخلوط گردید. سپس جذب مخلوط بعد از گذشت ۴۰ دقیقه در دمای اتاق، در طول موج ۴۱۵ نانومتر نسبت به بلانک با دستگاه اسپکتروفتومتر خوانده شد. بلانک حاوی تمام ترکیبات یادشده در بالا است اما به‌جای عصاره، همان حجم (۰/۵ میلی‌لیتر) متانول (۷۰ درصد) به آن اضافه کردیم. برای رسم منحنی استاندارد از کوئرستین استفاده

گیاه گندم بررسی گردید. به این صورت که بذره‌های گندم، ۲۴ ساعت در محلول‌هایی با غلظت‌های ۱۰۰، ۲۰۰ و ۵۰۰ ppm کمپلکس آهن و نانو ذرات آهن به‌طور جداگانه خیسانده شد. پس از آن، بذره‌های خیسی شده در محلول‌های کمپلکس آهن و نانوذرات، به پتری‌دیش‌های استریل شده حاوی کاغذ صافی انتقال داده شدند و بذره‌های کنترل شده در دستگاه انکوباتور برای جوانه‌زدن در تاریکی در دمای ۲۷ درجه سانتی‌گراد در طی هفت روز قرار داده شدند، سپس هر روز تعداد بذره‌های جوانه‌زده شمارش گردید شاخص جوانه‌زنی بذر از مجموع نسبت تعداد کل بذره‌های جوانه‌زده به تعداد روزهای پس از کشت به‌دست آمد که در آن  $N_i$  برابر است با تعداد کل بذره‌های جوانه‌زده تا روز  $N$  و  $T_i$  شماره روز که برای گندم اولین روز شمارش روز سوم و آخرین روز شمارش روز هشتم بود (Tekrony et al., 2000).

$$\sum G \cdot I = \frac{N_i}{T_i}$$

سرعت جوانه‌زنی بذرها با استفاده از روش ماگوئر (Maguire) محاسبه شد که برابر با مجموع نسبت  $\frac{N_i}{T_i}$  است که در آن  $N_i$  تعداد بذره‌های جوانه‌زده در هر روز و  $T_i$  تعداد روزهای پس از کشت به‌دست آمد.

$$\sum G \cdot R = \frac{N_i}{T_i}$$

پس از پایان جوانه‌زنی بذرها از هر پتری‌دیش سه جوانه انتخاب شدند و طول ساقه‌چه و ریشه‌چه به‌وسیله خط‌کش برحسب سانتی‌متر اندازه‌گیری شد.

به‌منظور تعیین وزن تر به‌طور تصادفی از هر پتری‌دیش سه جوانه انتخاب شد و به‌وسیله ترازوی با دقت ۰/۰۰۱ گرم انجام شد. برای به‌دست آوردن وزن خشک نمونه‌ها را در پاکت کاغذی قرار داده و در دمای ۷۰ درجه سانتی‌گراد به مدت ۷۲ ساعت در آون خشک گردید و پس از آن‌ها نمونه‌ها به‌وسیله ترازوی ۰/۰۰۱ وزن شدند.

بذره‌های گندم در سه غلظت ۱۰۰ ppm، ۲۰۰ ppm و ۵۰۰ ppm کمپلکس آهن و نانوذرات آهن به مدت ۲۴ ساعت خوابانده شدند، گلدان‌ها با مخلوطی ۴:۲ کوکوپیت و خاک پر شدند. در هر گلدان سه بذر در عمق ۱ سانتی‌متر، کاشته شد.

باعث تبدیل کمپلکس  $TPTZ-Fe^{3+}$  بی‌رنگ به کمپلکس  $TPTZ-Fe^{2+}$  می‌شود که به رنگ آبی بوده و در طول موج ۵۹۳ نانومتر شدت آن قابل اندازه‌گیری است. لوله‌های آزمایش به  $0.02$  میلی‌لیتر عصاره (با غلظت ۱ میلی‌گرم بر میلی‌لیتر) با محلول FRAP که اضافه شد مخلوط فوق ۱۰ دقیقه در دمای  $37$  قرار داده شد. دستگاه اسپکتروفتومتر در طول موج ۵۹۳ نانومتر توسط محلول کاری صفر گردید و سپس جذب نوری نمونه‌ها خوانده شد (Benzie and Strain, 1999).

برای همه آزمایش‌ها سه تکرار در نظر گرفته شد و به منظور تجزیه و تحلیل و تعیین سطح معنی‌داری و همچنین مقایسه میانگین‌ها از نرم‌افزار SPSS-22 و روش آنالیز واریانس یک طرفه (ANOVA)، Tokyo و پس آزمون Duncan در سطح ۵ درصد استفاده شد و نمودارها با نرم‌افزار Excel ترسیم شدند.

### نتایج و بحث

**نتایج سنتز کمپلکس آهن و نانوذرات آهن، آنالیز عنصری کمپلکس آهن:** نتایج آنالیز عنصری کمپلکس آهن در جدول ۱ نمایش داده شده است. همان‌طور که جدول نشان می‌دهد مقادیر تجربی و تئوری با هم در تطابق کامل هستند.

**بررسی ساختار کمپلکس آهن:** به‌منظور تعیین ساختار بلوری این کمپلکس از پراش پرتو ایکس استفاده شد. نتایج حاصل از آنالیز پرتو ایکس نشان داد که کمپلکس آهن دارای سیستم بلوری تری کلینیک و گروه فضایی P-1 است. همان‌طور که شکل نشان می‌دهد ساختار این کمپلکس دارای مراکز  $Fe(II)$  و  $Fe(III)$  است. بخش کاتیونی کمپلکس با فرمول  $[Fe(bpy)_3]^{2+}$  از مراکز  $Fe(II)$  شش کوئوردینه تشکیل شده است که شش اتم نیتروژن از سه لیگاند دو دندانه بی‌پیریدین به این مرکز کوئوردینه شده‌اند و آهن دارای هندسه هشت وجهی و اپیچیده است. کمپلکس آنیونی با فرمول  $[Fe(dipic)_2]^{-2}$  دارای یک مرکز فلزی  $Fe(III)$  است که دو لیگاند دی‌پروتونه dipic که هر کدام به‌صورت سه دندانه شش

شد. میزان فلاونوئید کل عصاره‌ها براساس میلی‌گرم معادل کوئرسیتین بر گرم وزن خشک گیاه  $DW\ mg\ QUE\ g^{-1}$  محاسبه شد. جذب‌های خوانده‌شده از نمونه‌ها به‌جای  $Y$  قرار داده شد و  $X$  یا همان غلظت به‌دست آمد (Chang et al., 2002).

$$Y = X \cdot 0.127$$

منحنی استاندارد با محلول‌های کوئرسیتین متانولی در غلظت‌های مختلف تهیه شد و منحنی با نرم‌افزار Excel رسم گردید، سپس معادله خط  $Y = ax + b$  به‌دست آمد.

**میزان فنل کل:** میزان فنل تام براساس روش رنگ‌سنجی فولین-سیوکاتیو (Folin-ciocalteu) و با استفاده از ماده گالیک اسید به‌عنوان استاندارد اندازه‌گیری شد (Meda et al., 2005). برای این کار به  $0.1$  میلی‌لیتر از عصاره متانولی گیاه،  $2/8$  میلی‌لیتر آب مقطر و  $0.1$  میلی‌لیتر معرف فولین-سیوکاتیو  $50$  درصد اضافه کرده، پس از  $5$  دقیقه،  $5$  میلی‌لیتر کربنات سدیم (۷ درصد)، اضافه و خوب تکان دادیم. سپس به‌مدت  $90$  دقیقه در دمای اتاق نگهداری نموده و پس از آن جذب نوری نمونه‌ها را با استفاده از دستگاه اسپکتروفتومتر در طول موج  $760$  نانومتر نسبت به شاهد (تمامی موارد فوق، فقط به جای عصاره همان حجم متانول  $70$  درصد) ثبت کردیم. محتوای فنل کل براساس میلی‌گرم معادل گالیک اسید به گرم وزن خشک بافت  $DW\ mg\ GAE\ g^{-1}$  گیاه گزارش شد. جذب خوانده‌شده از نمونه‌ها به‌جای  $Y$  قرار داده شد و  $X$  یا همان غلظت به‌دست آمد (Meda et al., 2005).

$$Y = 0.127X - 0.016$$

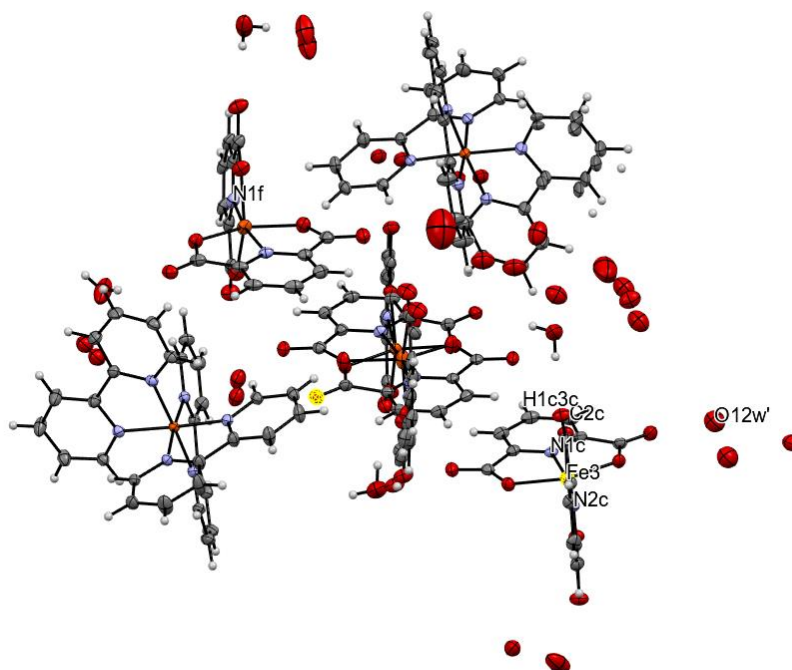
منحنی استاندارد توسط غلظت‌های مختلفی از اسید گالیک در متانول تهیه و منحنی با نرم‌افزار Excel رسم گردید، سپس معادله خط  $Y = bx + a$  به‌دست آمد.

### ارزیابی میزان فعالیت آنتی‌اکسیدانی به‌روش FRAP

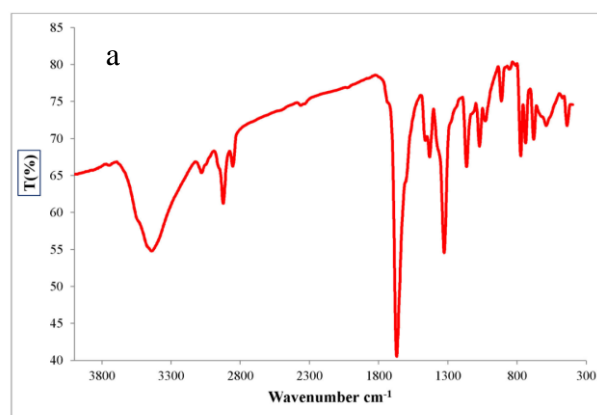
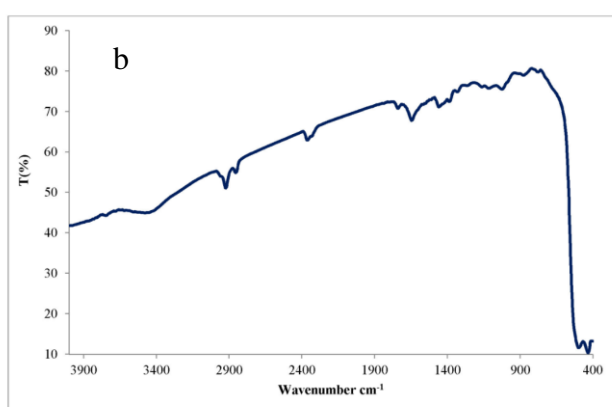
**(Ferric Reducing Antioxidant Potential):** برای اندازه‌گیری توان آنتی‌اکسیدانی احیاء آهن از روش TPTZ (Tripyridyl-S-Triazine) استفاده شد. در این روش، معرفی ساخته می‌شود که حاوی TPTZ و  $FeCl_3$  و بافر استات آنتی‌اکسیدانی‌هایی که توانایی احیاء  $Fe^{3+}$  به  $Fe^{2+}$  را دارند،

جدول ۱- آنالیز عنصری کمپلکس  $[\text{Fe}(\text{bpy})_3][\text{Fe}(\text{dipic})_2]_2 \cdot 7\text{H}_2\text{O}$

$[\text{Fe}(\text{bpy})_3][\text{Fe}(\text{dipic})_2]_2 \cdot 7\text{H}_2\text{O}$	H (%)	N (%)	C (%)
محاسبه شده	48.86	2.82	9.89
تجربی	49.24	2.78	9.81



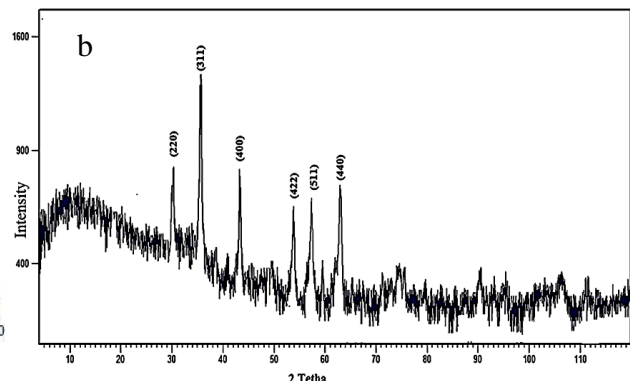
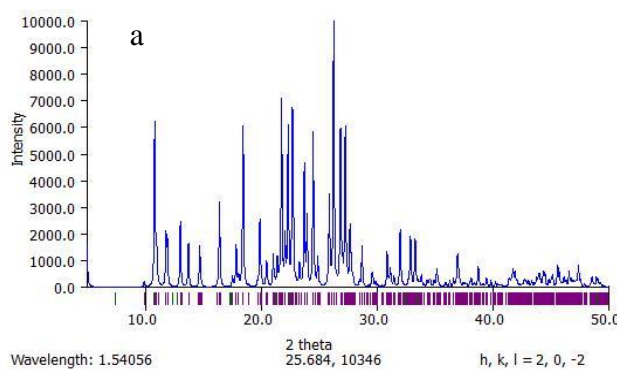
شکل ۱- ساختار بلوری کمپلکس آهن



شکل ۲- طیف مادون قرمز (a) کمپلکس آهن و (b) اکسید آهن  $\text{Fe}_3\text{O}_4$

طیف زیر قرمز مربوط به کمپلکس آهن و نانو ذرات  $\text{Fe}_3\text{O}_4$  حاصل از تجزیه حرارتی این کمپلکس در شکل ۲ نشان داده شده است. در طیف مادون قرمز کمپلکس آهن (2 a) پیک پهن مشاهده شده در ناحیه  $3000\text{--}3500\text{ cm}^{-1}$  به فرکانس کششی

موقعیت اطراف Fe را اشغال کرده و هندسه هشت وجهی انحراف یافته را برای این مرکز ایجاد کرده‌اند (شکل ۱).  
بررسی طیف مادون قرمز کمپلکس و نانو ذرات آهن:



شکل ۳- الگوی XRD کمپلکس آهن (a) و نانو ذرات آهن (b)

### بررسی الگوی XRD کمپلکس و نانو ذرات آهن: شکل

۳a الگوی XRD کمپلکس آهن را نشان می‌دهد.

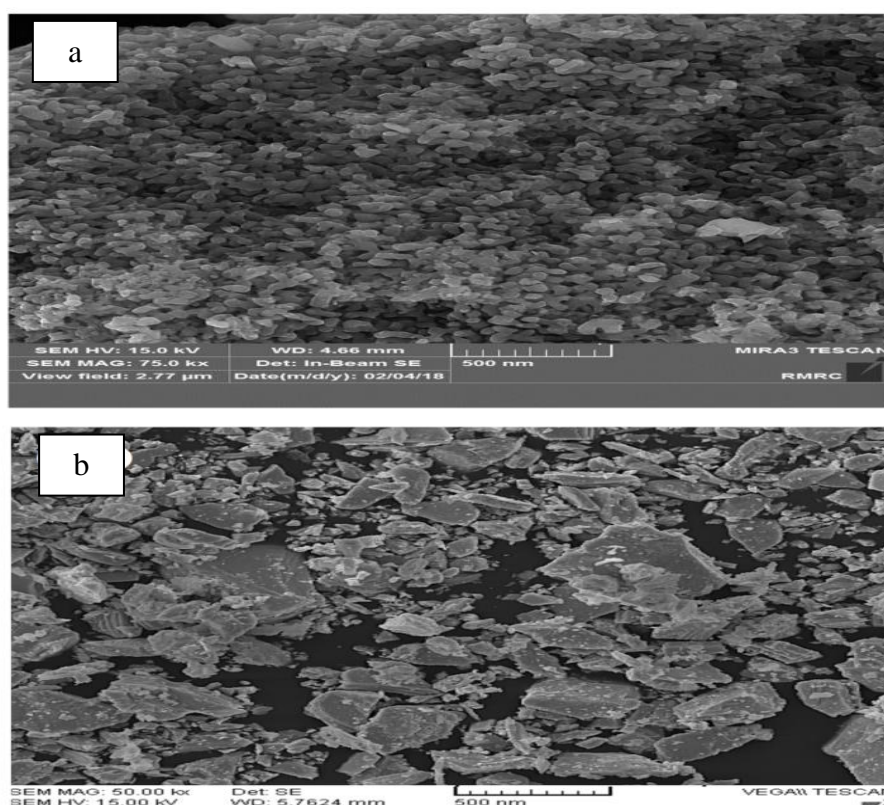
این کمپلکس در سیستم تبلور تری کلینیک و گروه فضایی P-1 متبلور می‌شود. شکل ۳b الگوی XRD اکسید آهن  $\text{Fe}_3\text{O}_4$  را نشان می‌دهد. این نانو اکسید دارای سیستم تبلور مکعبی و گروه فضایی P63mc است که با شماره کارت 1533-82 تطابق دارد. برای سنجش اندازه ذرات کمپلکس و نانو ذرات اکسید آهن از روش Shanan و همکاران (۲۰۱۸) استفاده شده است. بر حسب رادیان،  $\lambda$  طول موج اشعه ایکس بر حسب نانومتر،  $D$  متوسط اندازه بلورکها بر حسب نانومتر و  $\theta$  نصف زاویه تفرق بر حسب رادیان است. براساس رابطه شرر اندازه متوسط ذرات کمپلکس آهن و اکسید آن به ترتیب برابر با ۷۸ nm و ۱۳ nm است.

### بررسی تصاویر میکروسکوپ الکترونی SEM: شکل ۴a

تصاویر حاصل از میکروسکوپ الکترونی روبشی نانو کمپلکس آهن و نانو ذرات اکسید آهن تهیه شده به روش تجزیه حرارتی کمپلکس را نشان می‌دهد.

تصاویر SEM نشان می‌دهد که شکل و اندازه ذرات کمپلکس آهن و نانو ذرات اکسید  $\text{Fe}_3\text{O}_4$  با یکدیگر متفاوت است. همان‌طور که شکل به وضوح نشان می‌دهد اندازه ذرات اکسید آهن  $\text{Fe}_3\text{O}_4$  کوچکتر از کمپلکس آهن است اندازه ذرات با نرم افزار ImageJ نشان داد که آنها به ترتیب دارای اندازه ذرات ۱۳ نانومتر و ۹۸ نانومتر هستند.

پیوند O-H مولکول‌های آب شبکه بلور نسبت داده می‌شود. پیک پهن و قوی مشاهده شده در  $1650 \text{ cm}^{-1}$  متعلق به ارتعاشات کششی نامتقارن گروه‌های کربوکسیلات است که با ارتعاشات خمشی مولکول‌های آب همپوشانی می‌کنند. نوارهای مشاهده شده در ناحیه  $1433 \text{ cm}^{-1}$  و  $1327 \text{ cm}^{-1}$  به فرکانس کششی نامتقارن گروه‌های کربوکسیلات متعلق بوده و این گروه‌ها به صورت تک دندان به مراکز فلزی متصل هستند همچنین ارتعاشات کششی مربوط به گروه‌های C-O در محدوده  $1165 \text{ cm}^{-1}$  مشاهده می‌شوند. فرکانس‌های مشاهده شده در  $3181$  و  $2924 \text{ cm}^{-1}$  به ارتعاشات کششی C-H نسبت داده می‌شود. ارتعاشات مشاهده شده در  $1073 \text{ cm}^{-1}$  و  $2924 \text{ cm}^{-1}$  به ترتیب به ارتعاشات خمشی داخل و خارج صفحه‌ای گروه‌های C-H نسبت داده می‌شود. طیف مادون قرمز نانو ذرات  $\text{Fe}_3\text{O}_4$  حاصل از تجزیه حرارتی کمپلکس آهن در شکل (۲b) نمایش داده شده است. پیک پهن مشاهده شده در  $3000$  تا  $3300 \text{ cm}^{-1}$  به ارتعاشات کششی گروه‌های O-H مولکول‌های آب جذب سطحی شده نسبت داده می‌شود. پیک در  $1620 \text{ cm}^{-1}$  نیز متعلق به ارتعاشات خمشی مولکول‌های آب جذب سطحی شده است. پیک‌های ریز مشاهده شده در  $2921 \text{ cm}^{-1}$  و  $1145 \text{ cm}^{-1}$  به ارتعاشات کششی و خمشی مربوط به پیوند C-H حاصل از ناخالصی‌ها نسبت داده می‌شود. پیک مشاهده شده در  $598 \text{ cm}^{-1}$  و  $473 \text{ cm}^{-1}$  به ارتعاشات کششی پیوند Fe-O نسبت داده شد.



شکل ۴- تصاویر میکروسکوپ الکترونی SEM نانو ذرات (a) و نانو کمپلکس آهن (b)

جدول ۲- مساحت سطح ویژه و حجم حفره کمپلکس آهن و نانو ذرات اکسید آهن  $Fe_3O_4$

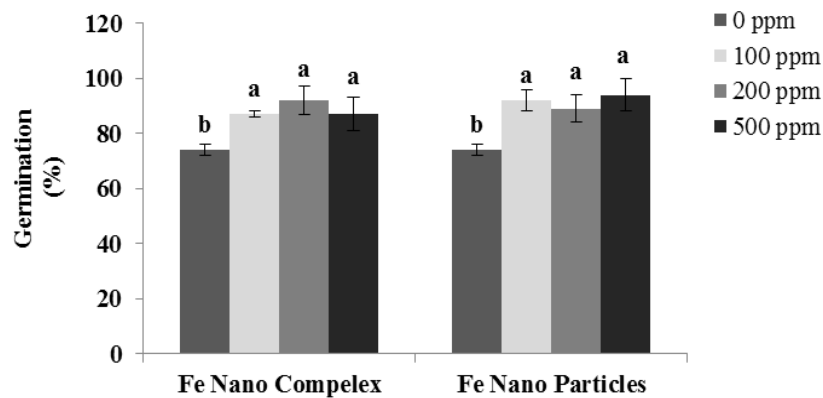
ترکیب	مساحت سطح ویژه $BET(m^2/g)$	حجم حفره $(cm^3/g)$
کمپلکس آهن	۳۲/۵	۰/۲۳
نانو ذرات $Fe_3O_4$	۹۷/۵۶	۰/۵۸۳

به شاهد افزایش یافت. بیشترین جوانه‌زنی بذر گندم (۹۴٪) در غلظت ۵۰۰ ppm نانو ذرات آهن مشاهده شد. به‌طور کلی تفاوت معنی‌داری در میزان جوانه‌زنی تحت تأثیر غلظت‌های مختلف نانو ذرات و نانوکمپلکس آهن مشاهده نشد. در نانوکمپلکس آهن نیز بیشترین جوانه‌زنی بذر گندم (۸۷٪) در غلظت ۲۰۰ ppm دیده شد. همچنین هیچ یک از غلظت‌ها نسبت به هم افزایش معنی‌داری نداشتند (شکل ۵).

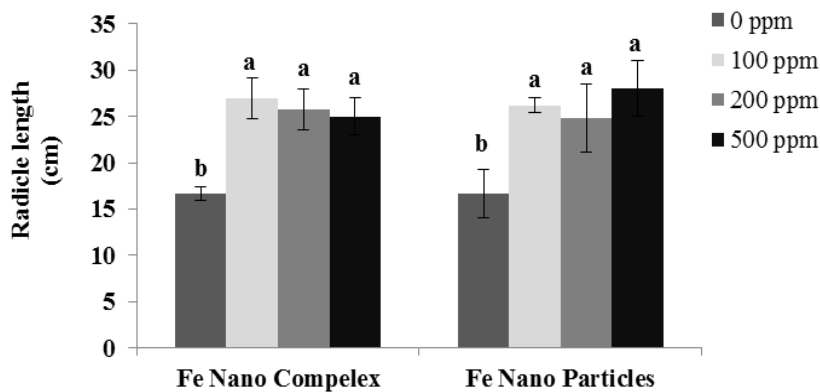
در تحقیقات دیگر نیز نتایج مشابهی بدست آمد. در آزمایش گلخانه‌ای روی گیاه گندم، کاربرد نانو ذرات اکسید آهن جوانه‌زنی را افزایش داد (مظاهری نیا و همکاران، ۱۳۹۰). در تحقیق دیگری نانو ذرات آهن باعث افزایش معنی‌دار درصد جوانه‌زنی گیاه کاج گردید (Temsah et al., 2010). همچنین

**مساحت سطح ویژه BET:** جدول ۲ مساحت سطح ویژه BET و حجم حفره را برای نانو کمپلکس آهن و نانو ذرات اکسید آهن حاصل را نشان می‌دهد. نتایج مساحت سطح ویژه BET در توافق خوبی با مشاهدات SEM است. مساحت سطح ویژه نانو ذرات اکسید آهن  $Fe_3O_4$  که به روش تجزیه حرارتی کمپلکس آهن بدست آمده است بالاتر از کمپلکس آهن است که به کوچکتر بودن اندازه ذرات و کلوخه‌شدن کمتر آن نسبت داده می‌شود.

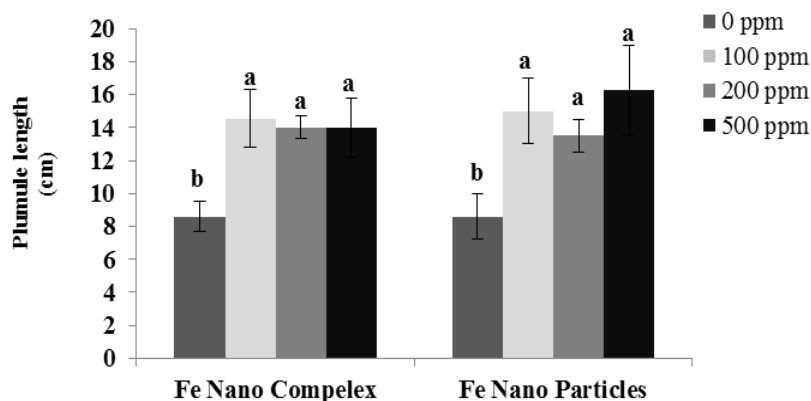
**اثر کمپلکس و نانو ذرات آهن روی جوانه‌زنی بذر گندم:** نتایج نشان داد جوانه‌زنی بذر گندم تحت تأثیر تمام غلظت‌های کمپلکس آهن و نانو ذرات حاصل از آن به‌طور معناداری نسبت



شکل ۵- بررسی جوانه‌زنی بذر گندم در غلظت‌های مختلف کمپلکس آهن و نانو ذرات آهن. میانگین‌های دارای حرف مشترک در هر تیمار در غلظت‌های مختلف از نظر آماری در سطح ( $P \leq 0.05$ ) تفاوت معنی‌دار ندارند.



شکل ۶- بررسی اندازه‌گیری طول ریشه‌چه گندم در غلظت‌های مختلف کمپلکس آهن و نانو ذرات آهن. میانگین‌های دارای حرف مشترک در هر تیمار در غلظت‌های مختلف از نظر آماری در سطح ( $P \leq 0.05$ ) تفاوت معنی‌دار ندارند.



شکل ۷- بررسی اندازه‌گیری طول ساقه‌چه گندم در غلظت‌های مختلف کمپلکس آهن و نانو ذرات آهن. میانگین‌های دارای حرف مشترک در هر تیمار در غلظت‌های مختلف از نظر آماری در سطح ( $P \leq 0.05$ ) تفاوت معنی‌دار ندارند.

نانو ذرات اکسید آهن در گیاه گوجه‌فرنگی نیز جوانه‌زنی را افزایش داده است (Shankamma *et al.*, 2015). نتایج

بیشترین وزن خشک ساقه‌چه (g ۰/۰۰۱۷) مربوط به غلظت ۵۰۰ppm نانو ذرات آهن است. تحت تأثیر نانو کمپلکس آهن نیز بیشترین وزن خشک ساقه‌چه (g ۰/۰۰۱۶) در غلظت ۵۰۰ppm به دست آمد (شکل ۸).

در بررسی وزن خشک ریشه‌چه نتایج نشان داد که تحت تأثیر هر دو ترکیب کمپلکس آهن و نانو ذرات آهن، وزن خشک ریشه‌چه افزایش معنی‌داری نسبت به شاهد نشان می‌دهند. بیشترین وزن خشک ریشه‌چه (g ۰/۰۰۱۲) در غلظت ۵۰۰ ppm نانو ذرات آهن و کمپلکس آهن مشاهده شد (شکل ۹).

در مطالعات دیگر نیز نانو کود کلات آهن وزن خشک گیاه ریحان (پیوندی و همکاران، ۱۳۹۴)، گیاه اسفناج (Ladan Moosapoor et al., 2012)، گیاه بادام‌زمینی (Mir et al., 2016) و لوبیا چشم‌سیاه (Delfani et al., 2014) را افزایش داد. نانو ذرات از قابلیت جذب بیشتری برخوردار بوده و می‌توانند به صورت مطلوب و در نقطه مناسبی در ناحیه رشد ریشه عناصر غذایی خود را آزاد کنند. نانو ذرات از طریق دیواره سلولی و غشاهای پلاسمایی لایه‌های اپیدرمی موجود در ریشه به بافت‌های آوند چوبی نفوذ کرده و از این طریق به ساقه و در نهایت به برگ‌ها منتقل می‌شوند (Said-Al Ahl and Abeer, 2010).

**وزن تر ساقه‌چه و ریشه‌چه:** نتایج مقایسه وزن تر ساقه‌چه بین کمپلکس آهن و نانو ذرات آهن نشان داد که هر دو گروه نسبت به شاهد افزایش معنی‌داری دارند به طوری که بیشترین وزن تر ساقه‌چه (g ۰/۱۸) مربوط به غلظت ۱۰۰ ppm کمپلکس آهن است. همچنین اختلاف بین غلظت‌های کمپلکس آهن نشان داد که غلظت ۱۰۰ ppm نسبت به ۲۰۰ppm و ۵۰۰ppm افزایش معنی‌داری دارد، مقایسه بین غلظت‌های نانو ذرات آهن نیز نشان داد که غلظت ۲۰۰ppm نسبت به غلظت‌های ۱۰۰ppm و ۵۰۰ppm کاهش معنی‌داری دارد (شکل ۱۰).

نتایج بررسی نشان داد که وزن تر ریشه‌چه گندم تحت تأثیر غلظت‌های کمپلکس آهن و نانو ذرات حاصل از آن

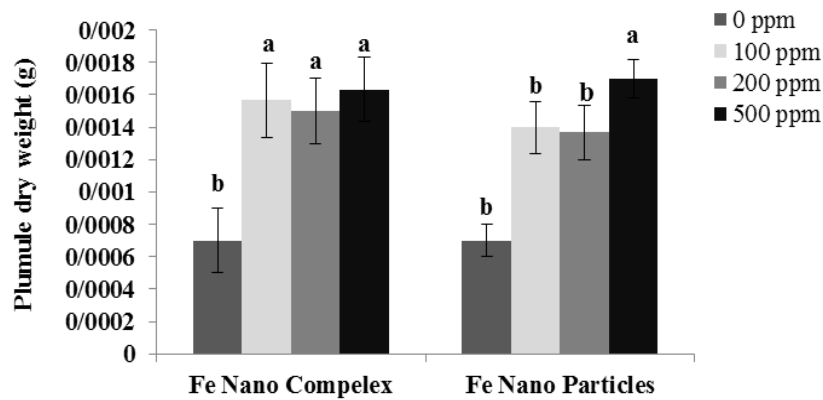
مطالعات فیضی (۱۳۸۹) نشان داد که تأثیر کاربرد نانو ذرات اکسید آهن بر متوسط زمان جوانه‌زنی گندم معنی‌دار است. این اثرات احتمالاً به دلیل فراهم شدن ریزمغذی‌های بیشتر برای رشد گیاه، امکان عبور راحت‌تر نانو ذرات ریزتر از دیواره سلول ریشه گیاه و اثرات مثبت گونه‌های فعال اکسیژن ناشی از حضور نانو ذرات اکسید آهن است.

**طول ریشه‌چه و ساقه‌چه:** نتایج نشان داد که طول ریشه‌چه و ساقه‌چه گندم تحت تأثیر تمام غلظت‌های کمپلکس آهن و نانو ذرات حاصل از آن به طور معنی‌داری نسبت به شاهد افزایش یافت. اما میان غلظت‌های مختلف کمپلکس آهن و نانو ذرات آهن اختلاف معنی‌دار وجود نداشت (شکل ۷ و ۶).

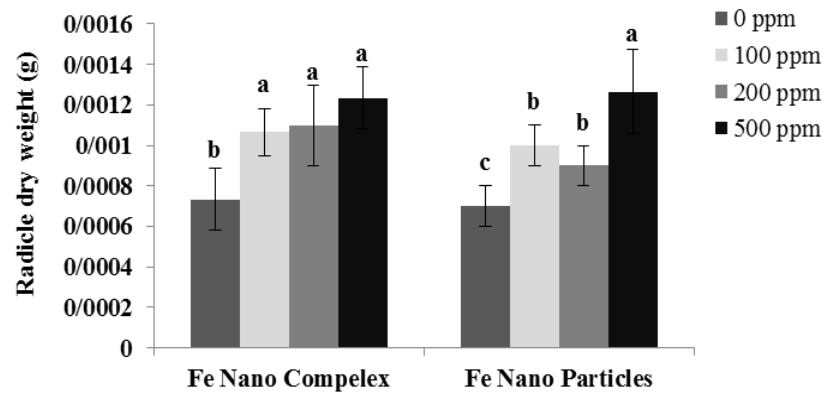
نانو ذرات اکسید آهن، طول ریشه‌چه و ساقه‌چه گیاه گندم را افزایش داد (مظاهری نیا و همکاران، ۱۳۹۰). مصرف آهن به افزایش طول ساقه و شاخه فرعی در بوته ذرت منجر گردید (Sharafi et al., 2000). در پژوهشی بیشترین طول شاخه نخود در تیمار محلول‌پاشی نانو کود کلات آهن مشاهده شد (Mir et al., 2016). در آزمایش دیگری طول ساقه گیاه ریحان با کاربرد نانو کود کلات آهن افزایش معنی‌داری یافت (Nazari et al., 2012). محلول‌پاشی نانو کود آهن رشد و عملکرد گیاه خیار (Javadimoghadam et al., 2015)، گیاه کلزا (بیاتی و همکاران، ۱۳۹۳) بادام‌زمینی (Liu et al., 2005) و گیاه دارویی مرزه (پیوندی و همکاران، ۱۳۹۰) آفتابگردان (ترابیان و زاهدی، ۱۳۹۲) و سیب‌زمینی (برقی و همکاران، ۱۳۹۳) را افزایش داد.

نانو ذرات اکسید آهن انتقال مواد فتوسنتزی و آهن را به برگ‌های گیاه تسهیل نموده و فتوسنتز و عملکرد آن را افزایش می‌دهد. افزایش عملکرد زیستی با مصرف عناصر ریزمغذی از جمله آهن علل مختلفی می‌تواند داشته باشد، که از آن جمله می‌توان به افزایش فعالیت فتوسنتزی و افزایش رشد گیاه اشاره نمود (Sharafi et al., 2000).

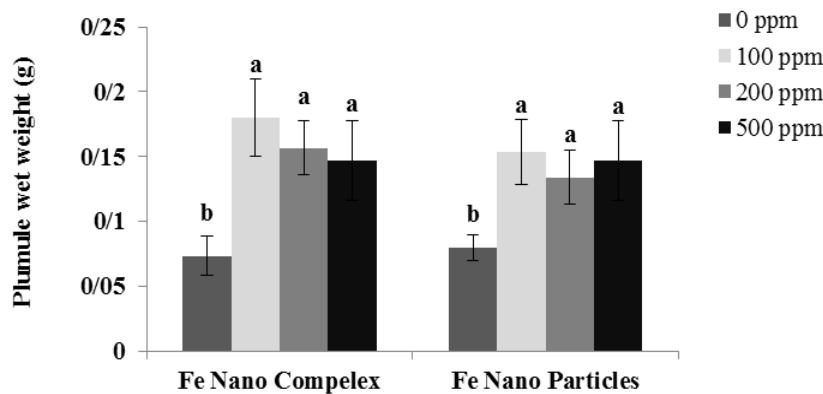
**وزن خشک ساقه‌چه و ریشه‌چه:** نتایج مقایسه وزن خشک ساقه‌چه بین کمپلکس آهن و نانو ذرات آهن نشان داد که هر دو ترکیب نسبت به شاهد افزایش معنی‌داری دارند به طوری که



شکل ۸- بررسی اندازه‌گیری وزن خشک ساقه‌چه گندم در غلظت‌های مختلف کمپلکس آهن و نانوذرات آهن. میانگین‌های دارای حرف مشترک در هر تیمار در غلظت‌های مختلف از نظر آماری در سطح ( $P \leq 0.05$ ) تفاوت معنی‌دار ندارند.

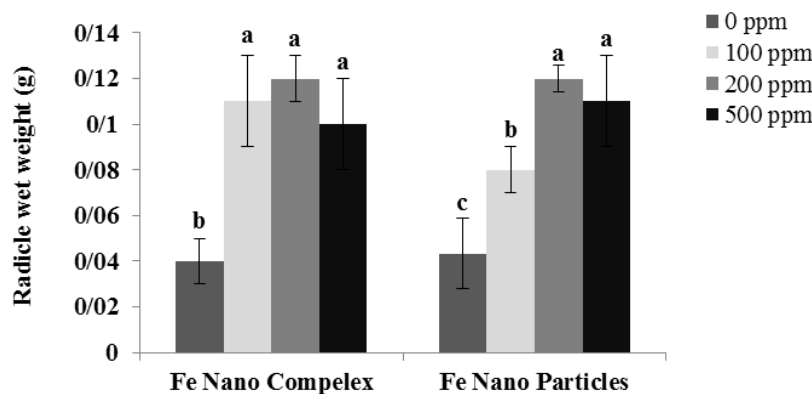


شکل ۹- بررسی اندازه‌گیری وزن خشک ریشه‌چه گندم در غلظت‌های مختلف کمپلکس آهن و نانوذرات آهن. میانگین‌های دارای حرف مشترک در هر تیمار در غلظت‌های مختلف از نظر آماری در سطح ( $P \leq 0.05$ ) تفاوت معنی‌دار ندارند.



شکل ۱۰- بررسی اندازه‌گیری وزن تر ساقه‌چه گندم در غلظت‌های مختلف کمپلکس آهن و نانوذرات آهن. میانگین‌های دارای حرف مشترک در هر تیمار در غلظت‌های مختلف از نظر آماری در سطح ( $P \leq 0.05$ ) تفاوت معنی‌دار ندارند.

به‌طور معنی‌داری نسبت به شاهد افزایش یافته است. به‌طوریکه بیشترین وزن تر ریشه‌چه گندم در غلظت ۲۰۰ ppm و



شکل ۱۱- بررسی اندازه‌گیری وزن تر ریشه‌چه گندم در غلظت‌های مختلف کمپلکس آهن و نانو ذرات آهن. میانگین‌های دارای حرف مشترک در هر تیمار در غلظت‌های مختلف از نظر آماری در سطح ( $P \leq 0.05$ ) تفاوت معنی‌دار ندارند.

عبدالهی و همکاران (۱۳۹۷) بیشترین وزن ریشه و ساقه گندم در شرایط گلخانه‌ای در تیمار نانو ذرات اکسید آهن به دست آمد. با آزادسازی آرام و کنترل‌شده مواد غذایی، عناصر مورد نیاز گیاه تأمین می‌کنند. این احتمالاً به این دلیل بود که نانو اکسید آهن بر اثر کوچک بودن ذرات، نسبت به اکسید آهن معمولی کمپلکس‌های بیشتری با کود تشکیل می‌دهد و در نتیجه حلالیت آهن و جذب نیز بیشتر می‌شود. این احتمالاً به بین غلظت‌های نانو ذرات و نانو کمپلکس آهن اختلاف معنی‌داری مشاهده نگردید (شکل ۱۳).

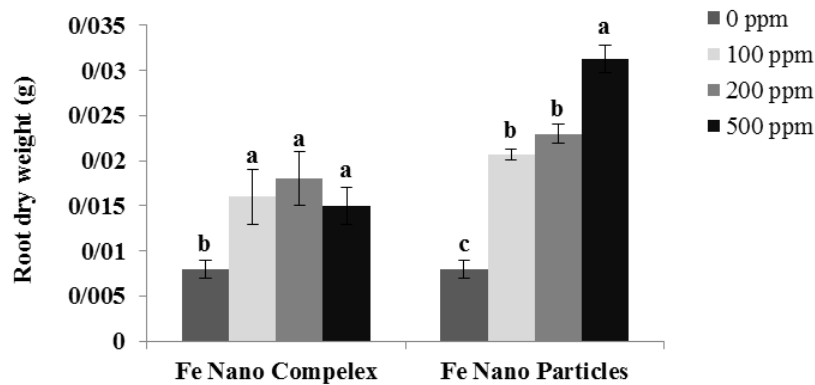
در مطالعه امیدی نرگسی (۱۳۹۳) کاربرد نانو کود کلات آهن باعث افزایش وزن خشک اندام هوایی گندم شد. محلول‌پاشی بوته‌های نخود با نانو کود آهن موجب افزایش وزن خشک ساقه گردید (Hamzei et al., 2014). فتیحی و زاهدی (۱۳۹۳) نشان دادند در اثر محلول‌پاشی نانو ذرات اکسید آهن، وزن خشک اندام هوایی گندم افزایش می‌یابد. Sheykhbaglou و همکاران (۲۰۱۰) دریافتند که نانو ذرات اکسید آهن باعث افزایش وزن خشک ساقه و وزن خشک برگ و غلاف سویا می‌شود. نریمانی (۱۳۹۸) نشان داد نانو اکسید آهن ماده خشک کل گندم را افزایش می‌دهد. این امر احتمالاً به دلیل خواص نانو ذرات شامل حلالیت بیشتر و سطح تماس بیشتر با ریشه گیاه است (مظاهری‌نیا و همکاران، ۱۳۹۰). احتمالاً به علت افزایش شدت فتوسنتز ناشی از جذب بیشتر آهن منجر به تولید با وزن بالا شده است.

۵۰۰ ppm نانو ذرات آهن مشاهده شد. تحت تأثیر نانو کمپلکس آهن نیز وزن تر ریشه‌چه گندم در تمامی غلظت‌ها به‌طور معنی‌داری نسبت به شاهد افزایش یافت (شکل ۱۱).

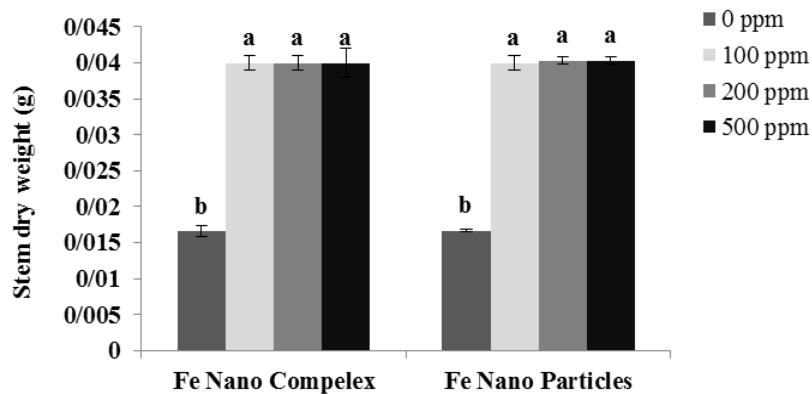
تأثیر مثبت نانو کود کلات آلی آهن بر افزایش وزن ساقه و ریشه گیاه برنج گزارش شده است (Baghaie et al., 2012). در پژوهش احمدی و همکاران (۱۳۹۷) نانو ذرات اکسید آهن سبب افزایش معنی‌دار وزن تر ساقه لوبیا گردید. در پژوهش دلیل خاصیت نانو ذرات و حلالیت بیشتر آنها است.

**وزن خشک ریشه و ساقه:** نتایج مقایسه وزن خشک ریشه بین کمپلکس آهن و نانو ذرات آهن نشان داد که تحت تأثیر هر دو ترکیب وزن خشک ریشه نسبت به شاهد افزایش معنی‌داری نشان داد. بیشترین وزن خشک ریشه (۰/۰۳g) مربوط به غلظت ۵۰۰ ppm نانو ذرات آهن بود. همچنین مقایسه غلظت‌های نانو ذرات نشان داد که تحت تأثیر غلظت ۵۰۰ ppm افزایش معنی‌داری در میزان وزن خشک ریشه در مقایسه با غلظت‌های ۱۰۰ ppm و ۲۰۰ ppm مشاهده شد (شکل ۱۲).

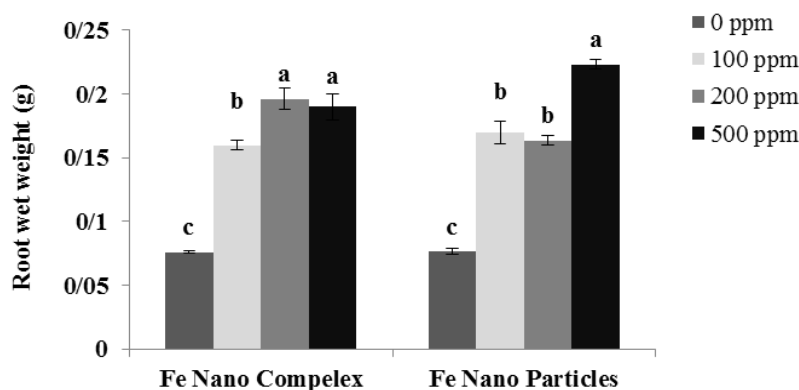
در بررسی وزن خشک ساقه نتایج مقایسه نشان داد که وزن خشک ساقه در هر دو ترکیب کمپلکس آهن و نانو ذرات آهن افزایش معنی‌داری نسبت به شاهد نشان می‌دهد. تحت تأثیر هر دو ترکیب، بیشترین وزن خشک ساقه (۰/۰۴g) مربوط به هر سه غلظت نانو کمپلکس آهن و نانو ذرات آهن بود. همچنین



شکل ۱۲- بررسی اندازه‌گیری وزن خشک ریشه گندم در غلظت‌های مختلف کمپلکس آهن و نانو ذرات آهن. میانگین‌های دارای حرف مشترک در هر تیمار در غلظت‌های مختلف از نظر آماری در سطح ( $P \leq 0.05$ ) تفاوت معنی‌دار ندارند.

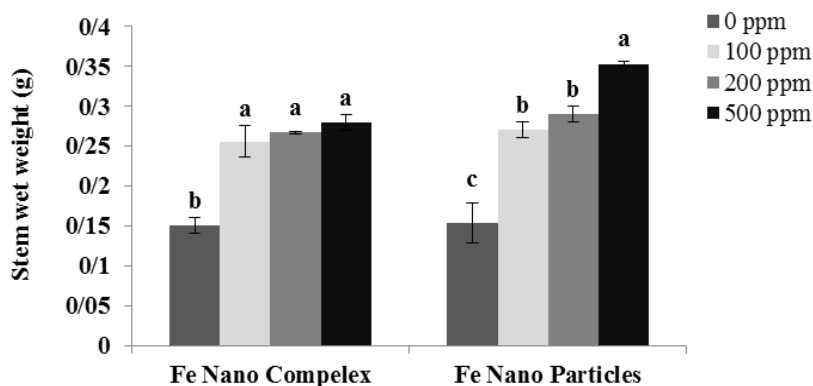


شکل ۱۳- بررسی اندازه‌گیری وزن خشک ساقه گندم در غلظت‌های مختلف کمپلکس آهن و نانو ذرات آهن. میانگین‌های دارای حرف مشترک در هر تیمار در غلظت‌های مختلف از نظر آماری در سطح ( $P \leq 0.05$ ) تفاوت معنی‌دار ندارند.



شکل ۱۴- بررسی اندازه‌گیری وزن تر ریشه گندم در غلظت‌های مختلف کمپلکس آهن و نانو ذرات آهن. میانگین‌های دارای حرف مشترک در هر تیمار در غلظت‌های مختلف از نظر آماری در سطح ( $P \leq 0.05$ ) تفاوت معنی‌دار ندارند.

وزن تر ریشه و ساقه: نتایج مقایسه وزن تر ریشه بین کمپلکس آهن و نانو ذرات آهن نشان داد که هر دو گروه نتایج



شکل ۱۵- بررسی اندازه‌گیری وزن تر ساقه گندم در غلظت‌های مختلف کمپلکس آهن و نانو ذرات آهن. میانگین‌های دارای حرف مشترک در هر تیمار در غلظت‌های مختلف از نظر آماری در سطح ( $P \leq 0.05$ ) تفاوت معنی‌دار ندارند.

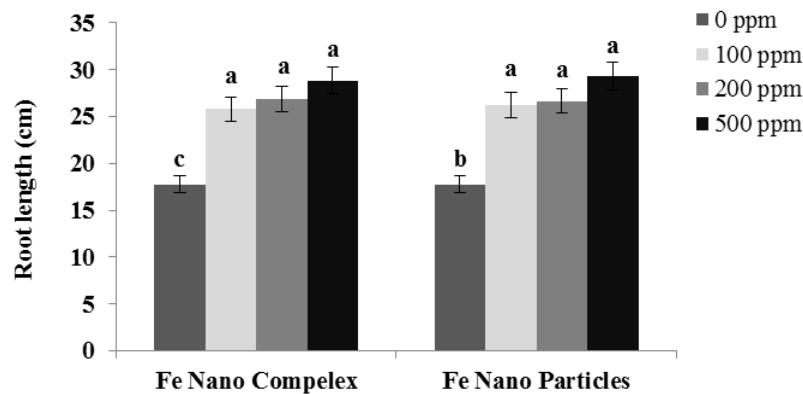
نسبت به شاهد افزایش معنی‌داری دارند به طوری که بیشترین وزن تر ریشه ( $0.22g$ ) مربوط به غلظت  $500ppm$  نانو ذرات آهن است. مقایسه بین غلظت‌های نانو ذرات آهن نیز نشان داد که وزن تر ریشه در غلظت  $500ppm$  نسبت به غلظت‌های  $100ppm$  و  $200ppm$  افزایش معنی‌داری دارد. تحت تأثیر کمپلکس آهن بیشترین وزن تر ریشه در غلظت  $200ppm$  و کمپلکس آهن  $500ppm$  به دست آمد. همچنین اختلاف بین غلظت‌های کمپلکس آهن نشان داد که وزن تر ریشه در غلظت‌های  $200ppm$  و  $500ppm$  نسبت به  $100ppm$  افزایش معنی‌داری دارد (شکل ۱۴).

مقایسه مقدار وزن تر ساقه بین کمپلکس آهن و نانو ذرات آهن نشان داد که تحت تأثیر هر دو گروه، وزن تر ساقه نسبت به شاهد افزایش معنی‌داری دارند. بیشترین وزن تر ساقه ( $0.35g$ ) مربوط به غلظت  $500ppm$  نانو ذرات آهن بود. در مقایسه غلظت‌های نانو ذرات، وزن تر ساقه در غلظت  $500ppm$  نسبت به غلظت‌های  $100ppm$  و  $200ppm$  افزایش معنی‌داری داشت. تحت تأثیر غلظت‌های مختلف نانو کمپلکس آهن تفاوت معنی‌داری در وزن تر ساقه مشاهده نشد (شکل ۱۵).

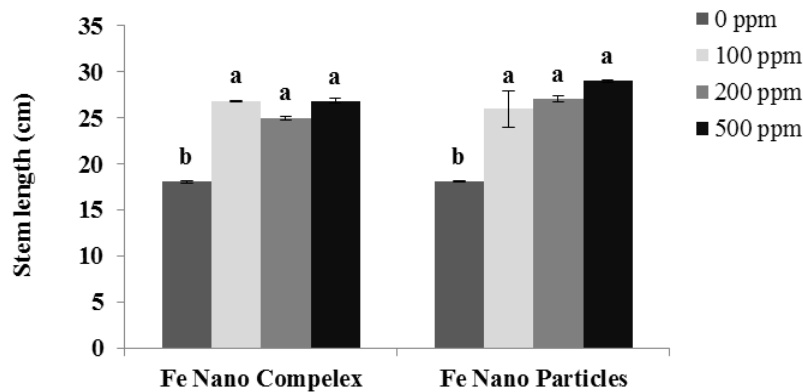
کاربرد کود نانو کلات آهن وزن تر گیاه اسفناج (Ladan Moghadam et al., 2012)، گیاه ریحان (پیوندی و همکاران، ۱۳۹۴)، گیاه بادام زمینی (Moosapoor et al., 2013)، سویا (Schenkeveld et al., 2010) و سورگوم (Johnson et

**طول ریشه و ساقه:** نتایج نشان داد که طول ریشه گندم تحت تأثیر غلظت‌های کمپلکس آهن و نانو ذرات حاصل از آن به طور معنی‌داری نسبت به شاهد افزایش یافته است. به طوریکه بیشترین طول ریشه گندم ( $29/33cm$ ) در غلظت  $500ppm$  نانو ذرات آهن مشاهده شد. تحت تأثیر نانو کمپلکس آهن نیز بیشترین طول ریشه گندم ( $28/83cm$ ) در غلظت  $500ppm$  دیده شد. همچنین مقایسه بین غلظت‌های کمپلکس آهن و نانو ذرات آهن نشان داد که اختلاف بین غلظت‌ها معنی‌دار نمی‌باشد (شکل ۱۶).

نتایج بررسی طول ساقه نشان داد که غلظت‌های کمپلکس آهن و نانو ذرات حاصل از آن طول ساقه گندم را به طور



شکل ۱۶- بررسی اندازه‌گیری طول ریشه گندم در غلظت‌های مختلف کمپلکس آهن و نانو ذرات آهن. میانگین‌های دارای حرف مشترک در هر تیمار در غلظت‌های مختلف از نظر آماری در سطح ( $P \leq 0.05$ ) تفاوت معنی‌دار ندارند.



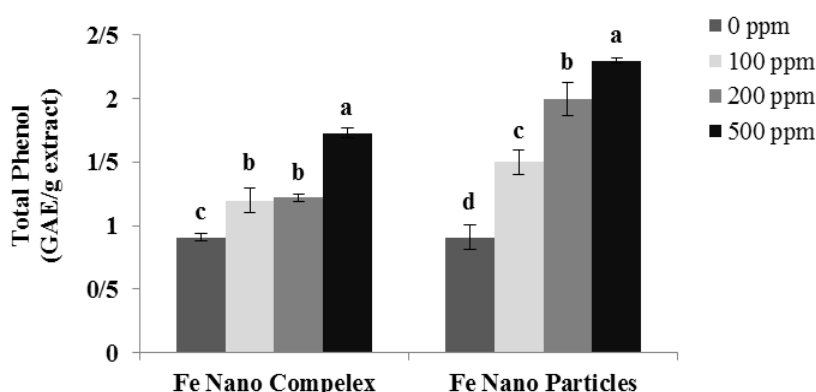
شکل ۱۷- بررسی اندازه‌گیری طول ساقه گندم در غلظت‌های مختلف کمپلکس آهن و نانو ذرات آهن. میانگین‌های دارای حرف مشترک در هر تیمار در غلظت‌های مختلف از نظر آماری در سطح ( $P \leq 0.05$ ) تفاوت معنی‌دار ندارند.

محلول‌پاشی نانو ذرات آهن را بر ارتفاع بوته گندم نشان داد. در پژوهش دیگری نانو کود آهن در بوته‌های نخود ارتفاع بوته و شاخه را افزایش داد (Hamzei *et al.*, 2014). Salarpour و همکاران (۲۰۱۳) در آزمایشی مشاهده نمودند که ارتفاع گیاه رازیانه با کاربرد نانو کود کلات آهن افزایش معنی‌داری یافت. در مطالعه Bozorgi (۲۰۱۲) بر روی گیاه بادمجان، ارتفاع گیاه و تعداد ساقه با کاربرد نانو کلات آهن به‌طور معنی‌داری افزایش یافت.

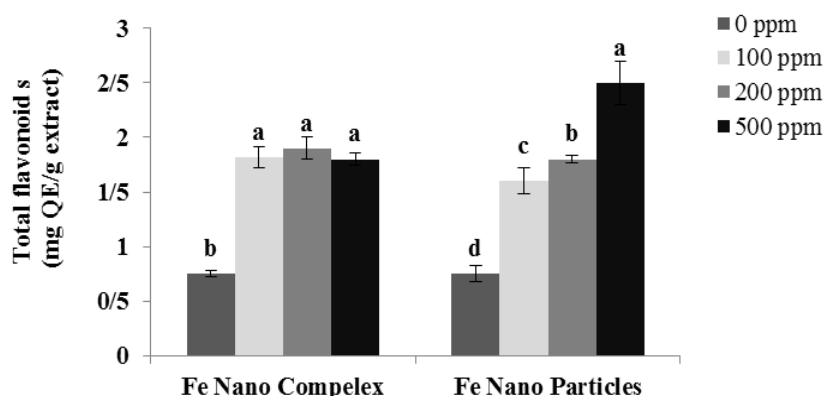
بهبود عملکرد توسط نانو ذرات آهن نسبت به آهن معمولی می‌تواند ناشی از کارایی ذرات آهن با ساختار نانو در رسانش و فراهمی بهینه عنصر آهن در فرآیندهای فیزیولوژیکی باشد. احتمالاً با فعال‌شدن فرآیندهای فیزیولوژیکی تشکیل کلروفیل

معنی‌داری نسبت به شاهد افزایش می‌دهند. به‌طوریکه بیشترین طول ساقه گندم (۲۹cm) در غلظت ۵۰۰ppm نانو ذرات آهن مشاهده شد. همچنین مقایسه بین غلظت‌های کمپلکس آهن و نانو ذرات آهن نشان داد که اختلاف بین غلظت‌ها معنی‌دار نمی‌باشد (شکل ۱۷).

احمدی و همکاران (۱۳۹۷) نیز افزایش طول ساقه گیاه لوبیا را تحت تأثیر نانو ذرات اکسید آهن نشان دادند. براساس نتایج پژوهش Lannone و همکاران (۲۰۱۶) نانو ذرات اکسید آهن طول ریشه و ساقه گندم را به‌طور معنی‌داری نسبت به گروه شاهد افزایش داد. فتحی (۱۳۹۱) نیز نتیجه گرفت در اثر محلول‌پاشی اکسید آهن به فرم نانو ارتفاع گیاه گندم افزایش می‌یابد. نتایج مطالعه Harsini و همکاران (۲۰۱۴) اثر افزایشی



شکل ۱۸- بررسی اندازه‌گیری محتوای فنول گندم در غلظت‌های مختلف کمپلکس آهن و نانو ذرات آهن. میانگین‌های دارای حرف مشترک در هر تیمار در غلظت‌های مختلف از نظر آماری در سطح ( $P \leq 0.05$ ) تفاوت معنی‌دار ندارند.



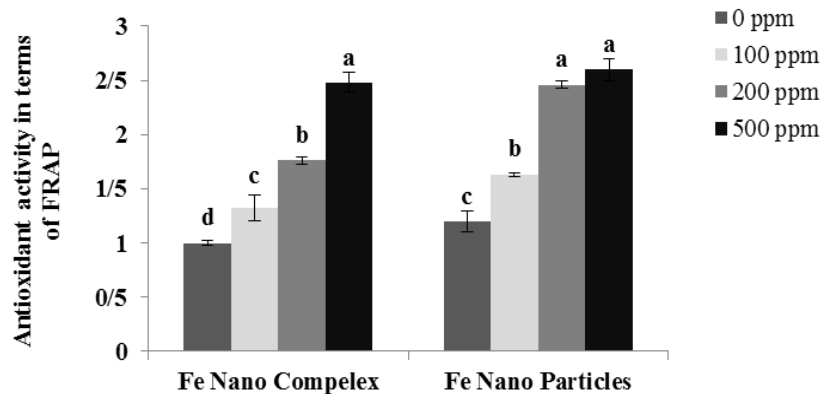
شکل ۱۹- بررسی اندازه‌گیری محتوای فلاونوئید گندم در غلظت‌های مختلف کمپلکس آهن و نانو ذرات آهن. میانگین‌های دارای حرف مشترک در هر تیمار در غلظت‌های مختلف از نظر آماری در سطح ( $P \leq 0.05$ ) تفاوت معنی‌دار ندارند.

افزایش یافته که در پی آن بهبود فرآیند فتوسنتز اتفاق می‌افتد و نهایتاً منجر به افزایش ارتفاع گیاه تیمار شده با نانو ذرات آهن می‌شود.

محتوای فنول و فلاونوئید: نتایج تحقیق حاضر نشان داد که میزان فنول تحت تأثیر تمام غلظت‌های کمپلکس آهن و نانو ذرات حاصل از آن به‌طور معنی‌داری نسبت به شاهد افزایش یافت. بیشترین محتوای فنول (۲/۳) در غلظت ۵۰۰ ppm نانو ذرات آهن مشاهده شد. تحت تأثیر نانوکمپلکس آهن نیز بیشترین محتوای فنول (۱/۷) در غلظت ۵۰۰ ppm دیده شد. همچنین اختلاف بین غلظت‌های کمپلکس آهن نشان داد که محتوای فنول در غلظت ۵۰۰ ppm نسبت به غلظت‌های

۱۰۰ ppm و ۲۰۰ ppm افزایش معنی‌داری دارد. در مقایسه غلظت‌های نانو ذرات، محتوای فنول در غلظت ۵۰۰ ppm نسبت به غلظت ۱۰۰ ppm و ۲۰۰ ppm افزایش معنی‌داری داشت (شکل ۱۸).

نتایج مقایسه میزان فلاونوئید بین کمپلکس آهن و نانو ذرات آهن نشان داد که هر دو ترکیب محتوای فلاونوئید را نسبت به شاهد به‌طور معنی‌داری افزایش داده‌اند. بیشترین محتوای فلاونوئید مربوط به غلظت ۵۰۰ ppm نانو ذرات آهن است. اختلاف بین غلظت‌های نانو ذرات نشان داد که غلظت ۵۰۰ ppm افزایش معنی‌داری با غلظت‌های ۱۰۰ ppm و ۲۰۰ ppm دارد (شکل ۱۹).



شکل ۲۰- بررسی اندازه‌گیری محتوای آنتی‌اکسیدانی گندم در غلظت‌های مختلف کمپلکس آهن و نانوذرات آهن. مقادیر نشان داده شده میانگین ۳ تکرار و  $\pm$  SE (انحراف معیار) می‌باشد. میانگین‌های دارای حرف مشترک در هر تیمار در غلظت‌های مختلف از نظر آماری در سطح ( $P \leq 0.05$ ) تفاوت معنی‌دار ندارند.

پاشی نانو ذرات اکسید آهن فعالیت آنتی‌اکسیدانی گیاه گندم (Ghafari and Razmjoo, 2013)، گیاه سویا (Sheykhbaglou *et al.*, 2010) و گیاه یونجه (عسکری و همکاران، ۱۳۹۷) را افزایش داد.

#### نتیجه‌گیری

در مطالعه حاضر، برای اولین بار شاخص‌های رشد و برخی پاسخ‌های فیزیولوژیک گیاه گندم تحت تأثیر غلظت‌های مختلف کمپلکس سه هسته‌ای آهن و نانو ذرات  $Fe_3O_4$  حاصل تجزیه حرارتی آن بررسی شد. نتایج تحقیق حاضر نشان داد که همه غلظت‌های کمپلکس سه هسته‌ای آهن و نانو ذرات حاصل از آن باعث افزایش رشد و میزان ترکیبات فنیل پروپانوییدی و فعالیت آنتی‌اکسیدانی گردید. غلظت ۵۰۰ ppm نانو ذرات آهن باعث بیشترین میزان شاخص‌های مختلف رشد از جمله جوانه‌زنی، طول ریشه‌چه و ساقه‌چه، طول ریشه و ساقه، وزن تر و خشک ریشه و ساقه گردید. نتایج نشان داد، افزایش میزان ترکیبات فنلی، فلاونوئیدی و فعالیت آنتی‌اکسیدانی، نشان‌دهنده فعال‌شدن سیستم دفاعی گیاه تحت تأثیر نانو ذرات آهن بود. براساس نتایج این تحقیق، کمپلکس سه هسته‌ای آهن و نانو ذرات حاصل از آن به‌عنوان محرکی مناسب جهت افزایش رشد و تولید ترکیبات فنلی پیشنهاد می‌شود.

گزارش شده که نانو ذرات اکسید آهن میزان فنول و فلاونوئید و فعالیت آنتی‌اکسیدانی سویا را افزایش داد (Sheykhbaglou *et al.*, 2010). در آزمایش دیگری که روی گیاه گندم صورت گرفت، محلول‌پاشی نانو ذرات اکسید آهن محتوای فنول و فلاونوئید گیاه را افزایش داد (Ghafari and Razmjoo, 2013).

**میزان فعالیت آنتی‌اکسیدانی:** نتایج بررسی نشان داد که فعالیت آنتی‌اکسیدانی تحت تأثیر غلظت‌های مختلف کمپلکس آهن و نانو ذرات حاصل از آن به‌طور معنی‌داری نسبت به شاهد افزایش یافته است. به‌طوریکه بیشترین فعالیت آنتی‌اکسیدانی در غلظت ۵۰۰ ppm نانو ذرات آهن و کمپلکس آهن مشاهده شد. مقایسه بین غلظت‌های نانو ذرات نشان داد که غلظت ۱۰۰ ppm کاهش معنی‌داری با غلظت‌های ۲۰۰ ppm و ۵۰۰ ppm دارد. فعالیت آنتی‌اکسیدانی در غلظت ۵۰۰ ppm کمپلکس آهن نسبت به غلظت ۱۰۰ ppm و غلظت ۲۰۰ ppm افزایش معنی‌داری نشان داد (شکل ۲۰).

افزایش آنزیم‌های آنتی‌اکسیدانی گندم، تحت تأثیر محلول‌پاشی نانو ذرات آهن مشاهده شده است (Monica *et al.*, 2009). در مطالعه Lannone و همکاران (۲۰۱۶) فعالیت آنزیم‌های آنتی‌اکسیدانی گیاهان تیمار شده با نانو ذرات به‌طور معنی‌داری نسبت به گروه شاهد افزایش یافت. محلول-

## تشکر و قدردانی

این تحقیق با حمایت مالی دانشگاه زابل انجام شده است  
(شماره گرنت: IR-UOZ-GR-5521).

## منابع

- احمدی، ر.، جلیلی نژاد، ن. و حلی، م. (۱۳۹۷) بررسی اثر نانو ذرات اکسید آهن و اکسید آهن-سرب تولیدشده به روش هم رسوبی بر پارامترهای رشد گیاه لوبیا. نانو مواد (تحقیقات مواد نانو کامپوزیتی) ۱۰: ۲۱۰-۲۰۱.
- امیدی نرگسی، ص. (۱۳۹۳) تأثیر نانو کود کلات آهن بر واکنش ارقام گندم به تنش شوری در محلول غذایی. پایان نامه کارشناسی ارشد، دانشگاه صنعتی، اصفهان، ایران.
- برقی، ع.، قلی پوری، ع.، توبه، ا.، جهانبخش، س. و جماعتی، ش. (۱۳۹۳) بررسی اثر محلول پاشی نانو اکسید آهن بر جذب عناصر غذایی در غده سیب زمینی. مجله علمی پژوهشی اکوفیزیولوژی گیاهی ۱۶: ۱۲-۱.
- بیاتی، ف.، آینه بند، ر. و فاتح، ا. (۱۳۹۳) بررسی تأثیر مقادیر و زمان های کاربرد کود آهن نانو بر عملکرد و اجزای عملکرد کلزا (*Brassica napus L.*). نشریه پژوهش های زراعی ایران ۱۲: ۸۱۲-۸۰۵.
- پیوندی، م.، پرنده، ه. و میرزا، م. (۱۳۹۴) مقایسه اثر نانو کود و کود کلات آهن بر کمیت و کیفیت اسانس ریحان (*Ocimum basilicum L.*). تحقیقات گیاهان دارویی و معطر ایران ۳۱: ۱۹۳-۱۸۵.
- پیوندی، م.، کمالی جامکانی، ز. و میرزا، م. (۱۳۹۰) تأثیر نانو کلات آهن با کلات آهن بر رشد و فعالیت آنزیم های آنتی اکسیدان مرزه (*Satureja hortensis*). مجله تازه های بیوتکنولوژی سلولی-مولکولی ۲: ۳۲-۲۵.
- ترابیان، ش. و زاهدی، م. (۱۳۹۲) تأثیر تغذیه برگی سولفات آهن به دو شکل معمول و نانو ذرات بر رشد آفتابگردان تحت تنش شوری. مجله علوم گیاهان زراعی ایران ۴۴: ۱۰۹-۱۱۸.
- عبدالهی، ع.، تقوی، م.، نوروزی مصیر، م. و معزی، ع. ا. (۱۳۹۷) تأثیر نانو ذرات اکسید آهن عامل دار بر میزان جذب روی و برخی شاخص های رشدی گندم در شرایط گلخانه ای. مهندسی زراعی (مجله علمی کشاورزی) ۴۱: ۱۴۶-۱۳۱.
- عسکری، م.، امینی، ف.، طالبی، س. م. و شفیعی گواری، م. (۱۳۹۷) اثرات کلات آهن و نانو ذرات اکسید آهن بر برخی ویژگی های فیزیولوژیکی گیاه یونجه (*Medicago sativa L.*). تنش های محیطی در علوم زراعی ۱۱: ۴۵۸-۴۴۹.
- فتحی، ع. ر. (۱۳۹۱) تأثیر تغذیه برگی نانو ذرات آهن و روی بر پاسخ گندم و ذرت به تنش شوری پایان نامه کارشناسی ارشد، دانشگاه صنعتی، اصفهان، ایران.
- فتحی، ع. و زاهدی، م. (۱۳۹۳) تأثیر محلول پاشی نانو ذرات اکسید آهن و روی بر رشد و محتوای یونی دو رقم گندم تحت تنش شوری. تولید فرآوری محصولات زراعی و باغی ۴: ۳۰۴-۲۹۵.
- فیضی، ح. (۱۳۸۹) مطالعه نقش نانو ذرات فلزی ( $TiO_2$ ,  $Fe_2O_3$ ) و میدان مغناطیسی بر جذب عناصر غذایی، رشد و خصوصیات کمی و کیفی گندم. پایان نامه دکتری تخصصی، دانشگاه فردوسی، مشهد، ایران.
- مظاهری نیا، س.، آستارایی، ع.، منشی، ا. و فتوت، ا. (۱۳۹۰) مقایسه مقدار جذب و تجمع آهن در گندم (*Triticum aestivum L.*) با کاربرد اکسیدهای آهن معمولی و نانو همراه با کود کمپوست زباله شهری گرانوله گوگردی. نشریه زراعت ۹۲: ۱۱۱-۱۰۳.
- نریمانی، ح.، سیدشریفی، ر.، خلیل زاده، ر. و امین زاده، غ. ر. (۱۳۹۸) تأثیر آبیاری تکمیلی و نانو اکسید آهن بر محتوای کلروفیل و مؤلفه های پرشدن دانه گندم (*Triticum aestivum L.*) تحت شرایط دیم. تنش های محیطی در علوم زراعی ۱۲: ۷۳۵-۷۴۶.

- Amiry-Hosinkhani, M. A., Panahi Kordlaghari, K. H. and Balouchi, H. R. (2013) Effects of potassium and iron nutrient elements on the quantity yield of Shariar wheat cultivar in Boyerahmad Reign. *Annals of Biological Research* 4: 56-60.
- Armin, M., Akbari, S. and Mashhadi, S. (2014) Effect of time and concentration of nano-Fe foliar application on yield and yield components of wheat. *International Journal of Biosciences* 4: 69-75.
- Baghaie, N., Keshavarz, N. and Nazaran, M. H. (2012) Effect of nano iron chelate fertilizer on yield and yield components of Rice, Hashemi cultivar. 12<sup>th</sup> Iranian Crop Sciences Congress. Islamic Azad University, Karaj Branch, Karaj, Iran.
- Benzie, I. F. F. and Strain, J. J. (1999) Ferric reducing/antioxidant power assay direct measure of total antioxidant. *Methods Enzymol* 10: 65-74.
- Bozorgi, H. R. (2012) Study effects of nitrogen fertilizer management under nano iron chelate foliar spraying on yield and yield components of eggplant (*Solanum melongena* L). *Agriculture Biological Sciences* 7: 233-237.
- Chang, C., Yang, M., Wen, H. and Chern, J. (2002) Estimation of total flavonoid content in propolis by two complementary colorimetric methods. *Journal of Food and Drug Analysis* 10: 178-182.
- Das, R. et al. (2004) Integration of photosynthetic protein molecular complexes in solid-state. *Electronic Devices Nano Letters* 4: 1079-1083.
- Delfani, M., Firouzabadi, M. B., Farrokhi, N. and Makarian, H. (2014) Some physiological responses of black-eyed pea to iron and magnesium nanofertilizers. *Communications in Soil Science and Plant Analysis* 45: 530-540.
- DeRosa, M. C., Monreal, C., Schnitzer, M., Walsh, R. and Sultan, Y. (2010) Nanotechnology in fertilizers. *Nature Nanotechnology* 5: 91.
- FAO (Food and Agriculture Organization of the United Nations). (2009) How to feed the world in 2050. Proceedings of the Expert Meeting on How to Feed the World in 2050. 24–26 June 2009. FAO Headquarters, Rome.
- Ghafari, H. and Razmjoo, J. (2013) Effect of foliar application of nano-iron oxidase iron chelate and iron sulphate rates on yield and quality of wheat. *International Journal of Agronomy and Plant Production* 4: 2997-3003.
- Hamzei, J., Najjari, S., Sadeghi, F. and Seyedi, M. (2014) Effect of foliar application of nano-iron chelate and inoculation with mesorhizobium bacteria on root nodulation growth and yield of chickpea under rainfed conditions. *Iranian Journal of Pulses Reserch* 5: 9-18.
- Harsini, M. G., Habibi, H. and Talaei, G. H. (2014) Study the effects of iron nano chelated fertilizers foliar application on yield and yield components of new line of wheat cold region of kermanshah provence. *Agricultur Advanced* 3: 95-102.
- Hochmuth, G. (2011) Iron (Fe) nutrition in plants. U. S. Department of Agriculture, UF/IFAS Extension Service, University of Florida, IFAS Document, SL353.
- Javadimoghadam, A., Ladan Moghadam, A. and Danaee, E. (2015) Response of growth and yield of cucumber plants (*Cucumis sativus* L.) to different foliar applications of nano- iron and zinc. *International Research Journal of Applied and Basic Science* 9: 1477-1478.
- Johnson, A., Jokar, L. and Ronaghi, A. (2015) Effect of foliar application of different Fe levels and sources on growth and concentration of some nutrients in sorghum. *Journal of Science and Technology of Greenhouse Culture* 6: 163-173.
- Kornarzynski, K., Sujak, A., Czernel, G. and Wiacek, D. (2020) Effect of Fe<sub>3</sub>O<sub>4</sub> nanoparticles on germination of seeds and concentration of elements in *Helianthus annuus* L. under constant magnetic field. *Scientific Reports* 10.
- Ladan Moghadam, A., Vattani, H., Baghaei, N. and Keshavarz, N. (2012) Effect of different levels of fertilizer nano-iron chelates on growth and yield characteristics of two varieties of spinach (*Spinacia oleracea* L.): Varamin 88 and viroflay. *Research in Applied Science and Engineering Technology* 4: 4813-4818.
- Lal, R. (2008) Soils and India's food security. *Journal of the Indian Society of Soil Science* 56: 129-138.
- Lannone, F., Groppa, M., Sousa, M., Fernandez, R. M. and Benavides, M. P. (2016) Impact of magnetite iron oxide nanoparticles on wheat (*Triticum aestivum* L.) development: Evaluation of oxidative damage. *Environmental and Experimental Botany* 131: 77-88.
- Liu, R. and Lal, R. (2015) Potentials of engineered nanoparticles as fertilizers for increasing agronomic productions. *Science of the Total Environment* 514: 131-139.
- Liu, X. M., Zhang, F. D., Zhang, S. Q., He, X. S., Fang, R., Feng, Z. and Wang, Y. (2005) Effects of nano-ferric oxide on the growth and nutrients absorption of peanut. *Plant Nutrition and Fertilizer Science* 11: 14-18.
- Ma, X., Geiser-Lee, J., Deng, Y. and Kolmakov, A. (2010) Interactions between engineered nanoparticles (ENPs) and plants: Phytotoxicity, uptake and accumulation. *Science Total Environment* 408: 3053-3061.
- Mastronardi, E., Tsae, P., Zhang, X., Monreal, C. and DeRosa, M. C. (2015). *Nanotechnologies in Food and Agriculture*. Springer International Publishing, Switzerland.
- Meda, A., Lamien, C. E., Romito, M., Millogo, J. and Nacoulma, O. G. (2005) Determination of the total phenolic, etermi nation of the total phenolic, flavonoid and pralin contents in Burkina Fasan honey, as well as their scavenging activity. *Food Chemistry* 91: 571-577.

- Mir, Y., Danshvar, M., Nazaryan, F. and Khosravi, H. (2016) Effect of foliar application of nano iron chelate on yield and growth traits of rainfed chickpea cultivars. *Journal of Plant Ecophysiology* 24: 183-195.
- Monica, R. C. and Cremonini, R. (2009) Nanoparticles and higher plants. *Caryologia* 62: 161-165.
- Moosapoor, N. S., Sadeghi, M. and Bidarigh, S. (2013) Effect of bohr nanofertilizer and chelated iron on the yield of peanut in province guilan, iran. *The Indian Journal of Fundamental and Applied Life Sciences* 3: 45-62.
- Nair, R., Varghese, S. H., Nair, B. G., Maekawa, T., Yoshida, Y. and Sakthi Kumar, D. (2010) Nanoparticulate material delivery to plants: Review. *Plant Sciences* 179: 154-163.
- Nazari, M., Mehrafarin, A., Naghdi Badi, H. and Khalighi-sigaroodi, F. (2012) Morphological traits of sweet basil (*Ocimum basilum* L.) as influenced by foliar application of methanol and nano-iron chelate fertilizers. *Annals Biology Research* 3: 5511-5514.
- Peralta-Videa, J. R., Hernandez-Viezcas, J. A., Zhao, L., Diaz, B. C., Ge, Y., Priester, J. H., Ann Holden, P. and Gardea-Torresdey, J. L. (2015) Cerium dioxide and zinc oxide nanoparticles alter the nutritional value of soil cultivated soybean plants. *Plant Physiology and Biochemistry* 80: 128-135.
- Said-Al Ahl, H. A. H. and Abeer, M. A. (2010) Effect of zinc and / or iron foliar application on growth and essential oil of sweet basil (*Ocimum basilicum* L.) under salt stress. *Ozean Journal of Applied Sciences* 3: 97-111.
- Salarpour, O., Parsa, S. Sayyari, M. H. and Jami Alahmadi, M. (2013) Effect of nano-iron chelates on growth, peroxidase enzyme activity and oil essence of cress (*Lepidium sativum* L.). *International Journal of Plant Production* 4: 3583-3589.
- Salem, T. and Elsheery, N. (2020) Nanomaterials: Scope, applications, and challenges in agriculture and soil reclamation. *Sustainable Agriculture Reviews* 41.
- Saheli, S., Rezvani, A. R., Malekzadeh, A., Dusek, M. and Eigner, V. (2018) Novel inorganic precursors [Co<sub>4</sub>. 32Zn1. 68 (HCO<sub>2</sub>) 18 (C<sub>2</sub>H<sub>8</sub>N) 6]/SiO<sub>2</sub> and Co<sub>4</sub>. 32Zn1. 68 (HCO<sub>2</sub>) 18 (C<sub>2</sub>H<sub>8</sub>N) 6]/Al<sub>2</sub>O<sub>3</sub> for Fischer–Tropsch synthesis. *International Journal of Hydrogen Energy* 43: 685-694.
- Schenkeveld, W. D., Reichwein, A. M., Bugter, M. H., Temminghoff, E. J. and van Riemsdijk, W. H. (2010) Performance of soil-applied Fe-EDDHA isomers in delivering Fe to soybean plants in relation to the moment of application. *Journal Agriculture and Food Chemistry* 58: 12833-12839.
- Shanan, Z. J., Hadi, S. M. and Shanshool, S. K. (2018) Structural analysis of chemical and green synthesis of CuO nanoparticles and their effect on biofilm formation. *Baghdad Science Journal* 15.
- Shankramma, K., Yallappa, S., Shivanna, M. B. and Manjanna, J. (2015) Fe<sub>2</sub>O<sub>3</sub> magnetic nanoparticles to enhance *S. lycopersicum* (tomato) plant growth and their biomineralization. *Applied Nano Science* 6: 983-990.
- Sharafi, S., Tajbakhsh, M., Majidi, A., Poormirza, A. and Malakooti, M. J. (2000) Evaluation effect of Fe and Zn on yield, protein and nutrition balance at two corn cultivar. *Water and Soil* 12: 85-94.
- Sheykhbaglou, R., Sedghi, M., Shishevan, M. T. and Sharifi, R. S. (2010) Effects of nano-iron oxide particles on agronomic traits of soybean. *Notulae Scientia Biologicae* 2: 112-113.
- Siddiqui, M. H., Al-Whaibi, M. H., Firoz, M. and Al-Khaishany, M. Y. (2015) *Nanotechnology and Plant Sciences*. Springer International Publishing.
- Tekrony, D. M., Tang, S., Egli, D. B. and Paul, L. (2000) An alternative model to predict corn seed deterioration during storage. *Crop Science* 40: 463-470.
- Temsah, E., Yehia Sayed, Y. and Erik, J. J. (2010) Impact of Fe and Ag nanoparticles on seed germination and differences in bioavailability during exposure in aqueous suspension and soil. *Environmental Toxicology* 27: 42-49.
- UN (United Nations Department of Economic and Social Affairs, Population Division) (2013) *World Population Prospects: the 2012 Revision*.
- Wang, X. and Cai, Q. S. (2010) Steel alag as an iron fertilizer for com growth and soil. *Journal of Plant Physiology* 132: 421-427.
- Zhao, Y., Fang, X. and Mu, Y. (2014) Metal pollution (Cd, Pb, Zn, and As) in agricultural soils and soybean, *Glycine max*, in Southern China. *Bulletin of Environmental Contamination and Toxicology* 92: 427-432.

## The Effect of seeds priming with three metallic complex of iron and its Fe<sub>3</sub>O<sub>4</sub> nanoparticles resulting from its thermal decomposition on the some growth physiologic parameters of *Triticum aestivum*

Tahereh Jahantigh<sup>1</sup>, Sedigheh Esmaeilzadeh Bahabadi<sup>1</sup>, Zohreh Razmara<sup>2</sup>, Parisa Hassanin<sup>1</sup>

<sup>1</sup> Department of Biology, Faculty of Science, University of Zabol, Iran

<sup>2</sup> Department of Chemistry, Faculty of Science, University of Zabol, Iran

(Received: 14/02/2022, Accepted: 21/06/2022)

### Abstract

Wheat is one of the most important grains and considering the role of nanotechnology in crop production, it is very important to study the effect of nanoparticles on its growth processes. The aim of the present study was to investigate the effect of three metallic complex of iron and its Fe<sub>3</sub>O<sub>4</sub> nanoparticles on growth and some physiological parameters of wheat. In this study, treatments included no seed priming (control), priming with different concentrations (100, 200 and 500 ppm) of iron complex and the iron nanoparticles. The structure of iron nanocomplexes were identified and confirmed by elemental analysis, infrared spectroscopy (FT-IR) as well as monocrystalline X-ray diffraction spectroscopy (SC-XRD). The structure of Fe<sub>3</sub>O<sub>4</sub> nanoparticles was also studied by infrared spectroscopy (FT-IR), X-ray diffraction (XRD) and transmission electron microscopy (SEM). The total phenolic content was determined using Folin-Ciocalteu assay and the amount of flavonoid was determined by colorimetry. Antioxidant activity was determined by FRAP method. The results showed that the prepared iron oxide nanoparticles had a smaller particle size and a larger specific surface area than the iron nanocomplex. The results showed that all growth and physiological parameters increased significantly under the treatment of all concentrations of iron complex and iron nanoparticles compared to the control. The highest seed germination (94%) was observed at the concentration of 500 ppm iron nanoparticles. Maximum root length (27 cm), stem length (16.3 cm), stem dry weight (1.7 mg), root dry weight (1.2 mg), root dry weight (0.03 g), stem dry weight (0.04 g), root length (29.33 cm) and stem length (29 cm) were observed at a concentration of 500 ppm iron nanoparticles. According to the results of this study, seed priming with iron nanoparticles is suggested as a suitable stimulant for increasing growth and production of phenolic compounds.

**Keywords:** Iron complex, Iron nanoparticles, Physiological parameters, Wheat plant

Corresponding author, Email: esmaeilzadeh@uoz.ac.ir